

# Recherche (expérimentale) du boson de Higgs et mesure de ses propriétés

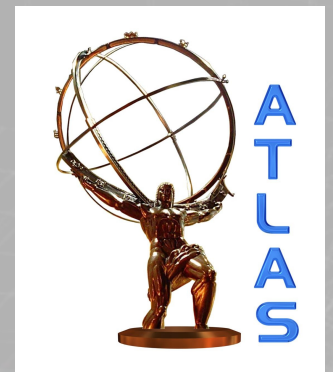
Elisabeth Petit  
LAPP/IN2P3



Laboratoire d'Annecy-le-Vieux  
de Physique des Particules



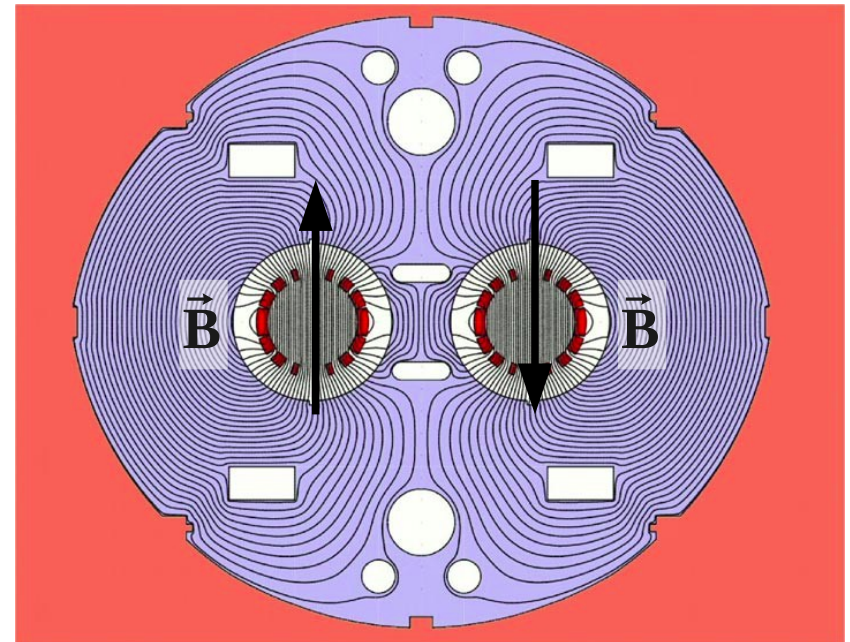
22ème Congrès général de la SFP  
1er juillet 2013





# Le LHC (1)

- ◆ Collisionneur **p-p**
- ◆ **~9000 aimants** supraconducteurs
- ◆ **~1000 paquets** de 100 milliards de protons
- ◆ Protons accélérés à **8 TeV** dans le **centre de masse**
  - ~ énergie d'un moustique en vol concentrée dans une tête d'épingle



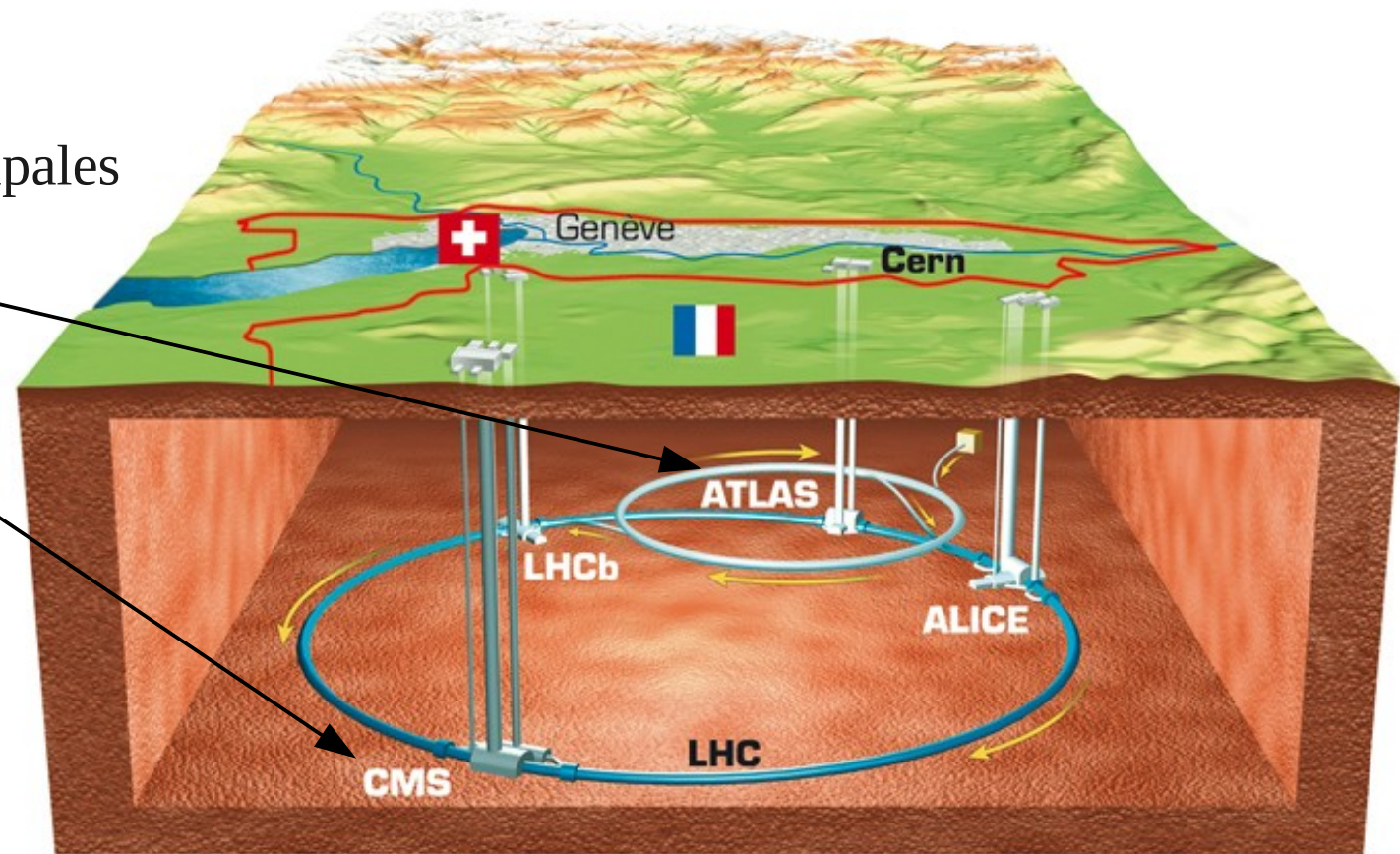


# Le LHC (2)

◆ 27 km de circonférence

◆ 4 expériences principales

- ATLAS
- CMS
- LHCb
- ALICE

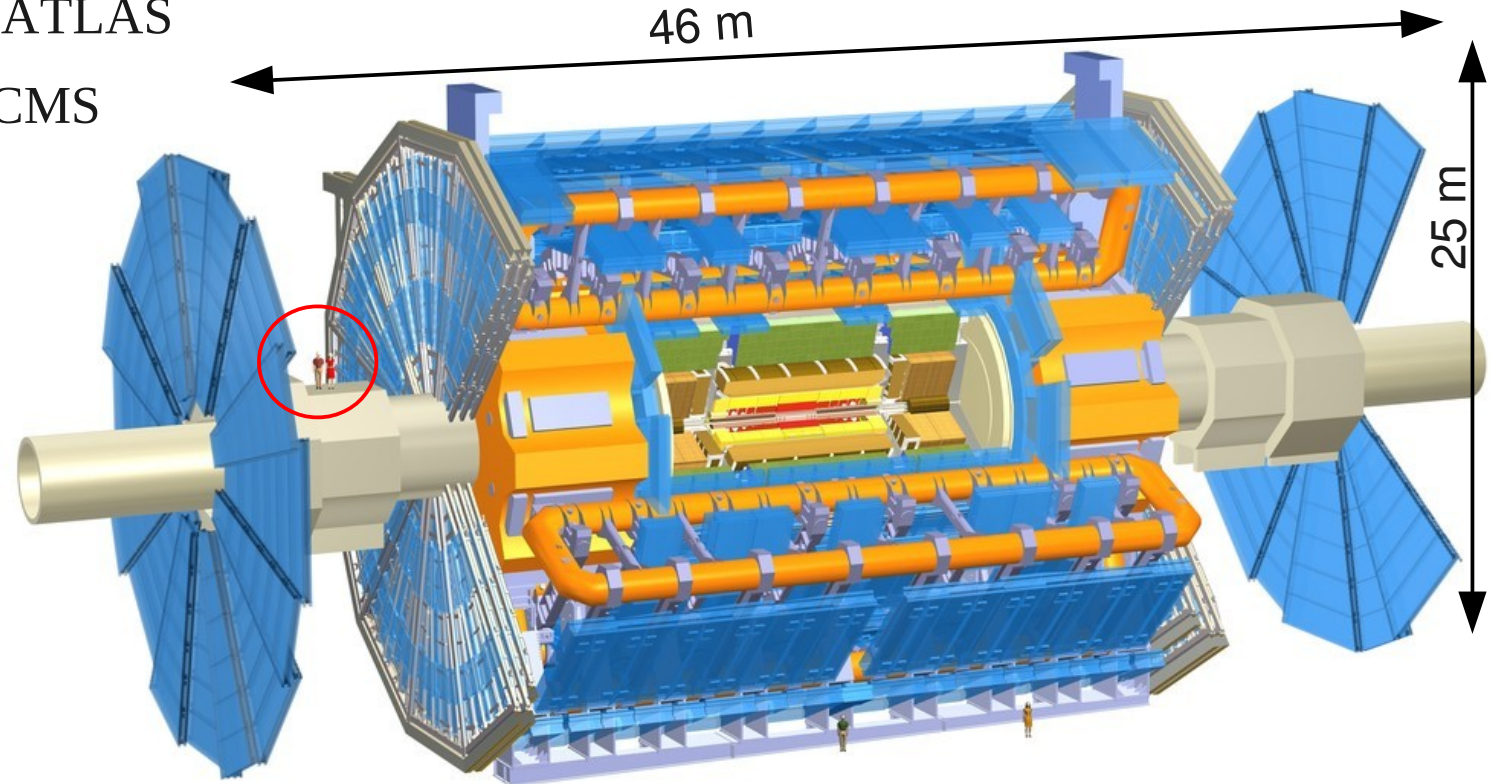




# ATLAS et CMS

## ◆ Expériences géantes

- 46x25m pour ATLAS
- 13800 t pour CMS

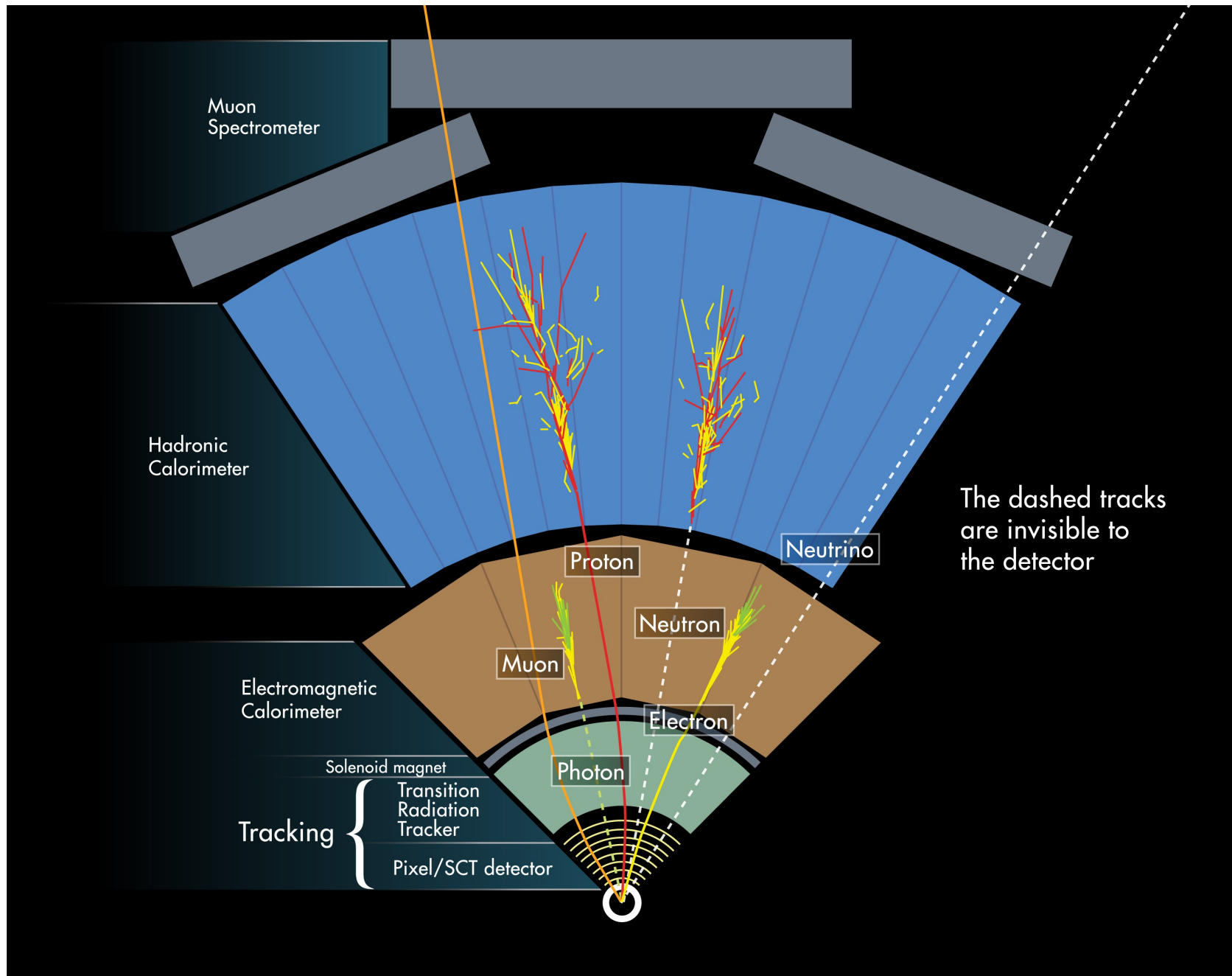


◆ > 3000 physiciens /expérience

◆ > 200 instituts



# Principe de détection des particules

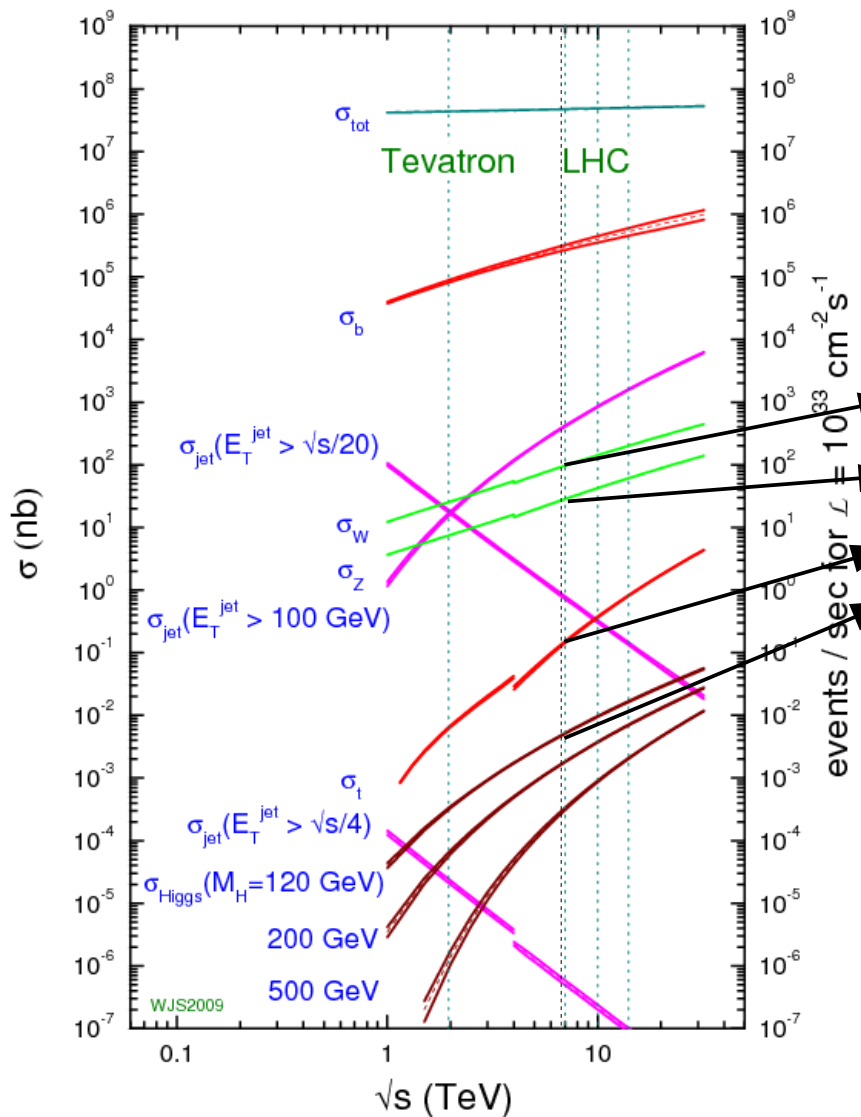




# Particules produites

◆ ~20 millions de collisions / s

proton - (anti)proton cross sections



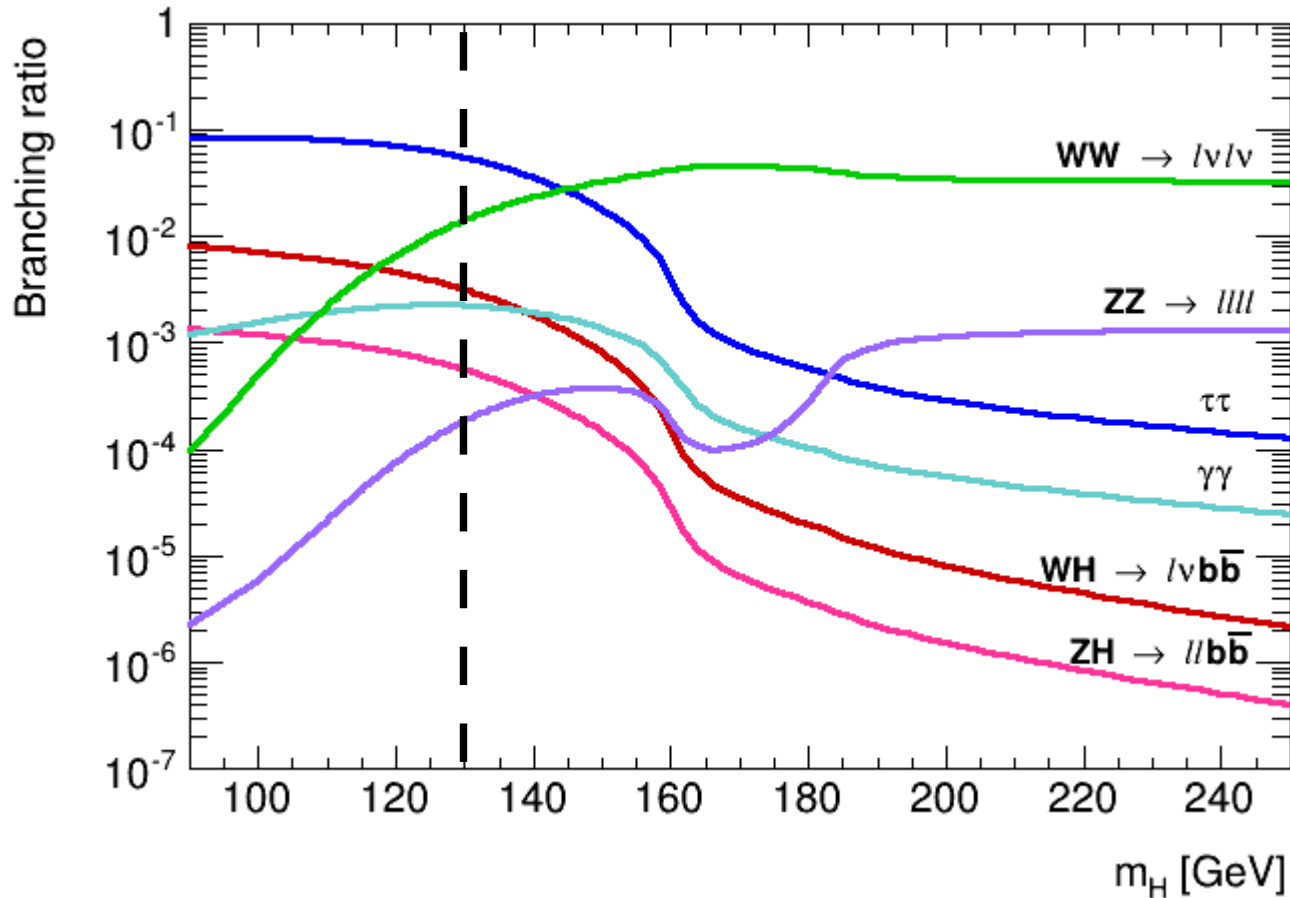
	masse (GeV)	section efficace	Événements (millions)
$W \rightarrow l\nu$	80.4	10 nb	300
$Z \rightarrow ll$	91.2	0.9 nb	30
$t\bar{t}$	173.1	165 pb	5
<b>Higgs</b>	<b>125</b>	<b>22 pb</b>	<b>0.7</b>

$1b = 10^{-24}cm^2$



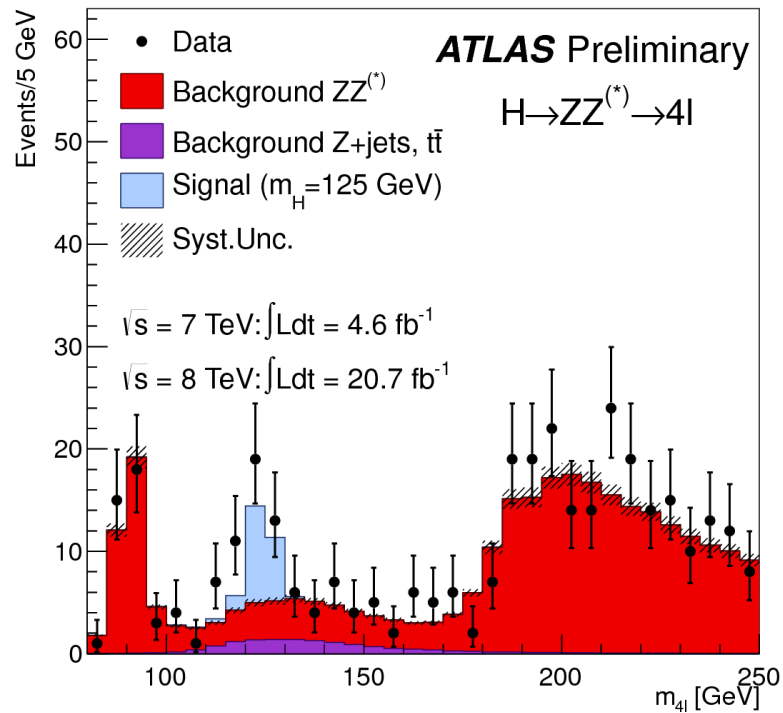
# Canaux de désintégration du boson de Higgs

## ◆ Rapports de branchement:



- ◆ 1 Higgs toutes les 10 s
- ◆ 1  $H \rightarrow \gamma\gamma$  toutes les 1.5 h
- ◆ 1  $H \rightarrow ZZ \rightarrow 4\ell$  tous les 2 jours

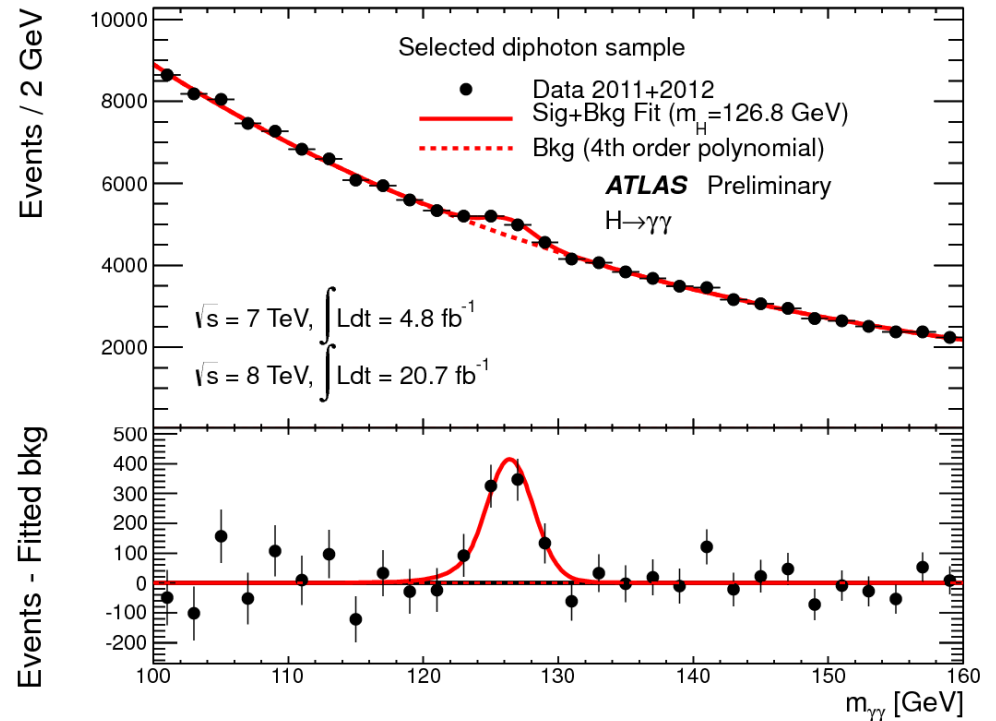
◆  $H \rightarrow ZZ^* \rightarrow 4 \text{ leptons (e, } \mu)$



◆ Signal  $\simeq 20$

◆  $S/B \sim 1$

◆  $H \rightarrow \gamma\gamma$



◆ Signal  $\simeq 400$

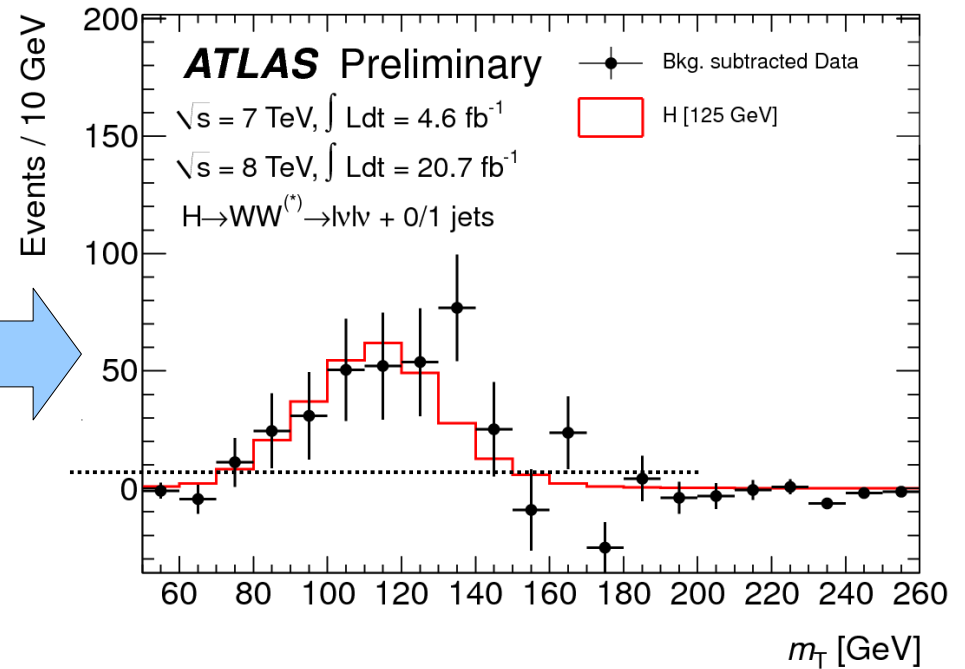
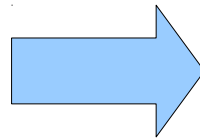
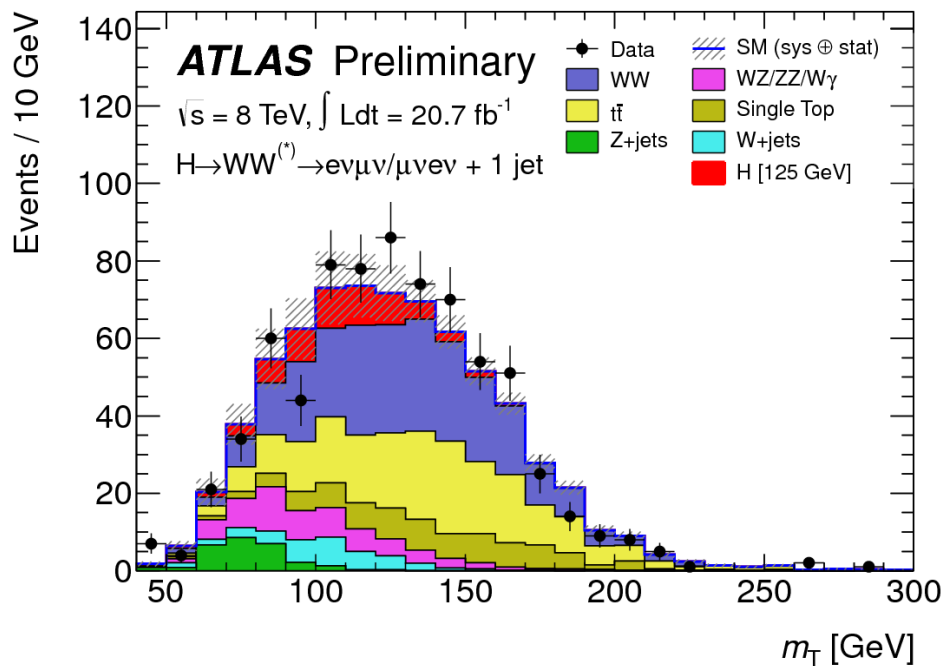
◆  $S/B \sim 1\%$





# Exemple : recherche dans le canal $WW^*$

- ◆ Désintégrations  $W \rightarrow e\nu$  et  $W \rightarrow \mu\nu$
- ◆ Sélection des événements (énergie, qualité des objets reconstruits, etc)
- ◆ Bruit de fond
  - réductible:  $tt$ ,  $WZ$ ,  $Z$ +jets, ...
  - irréductible:  $WW$
- ◆ Estimation du bruit de fond:
  - avec des simulations
  - à partir des données

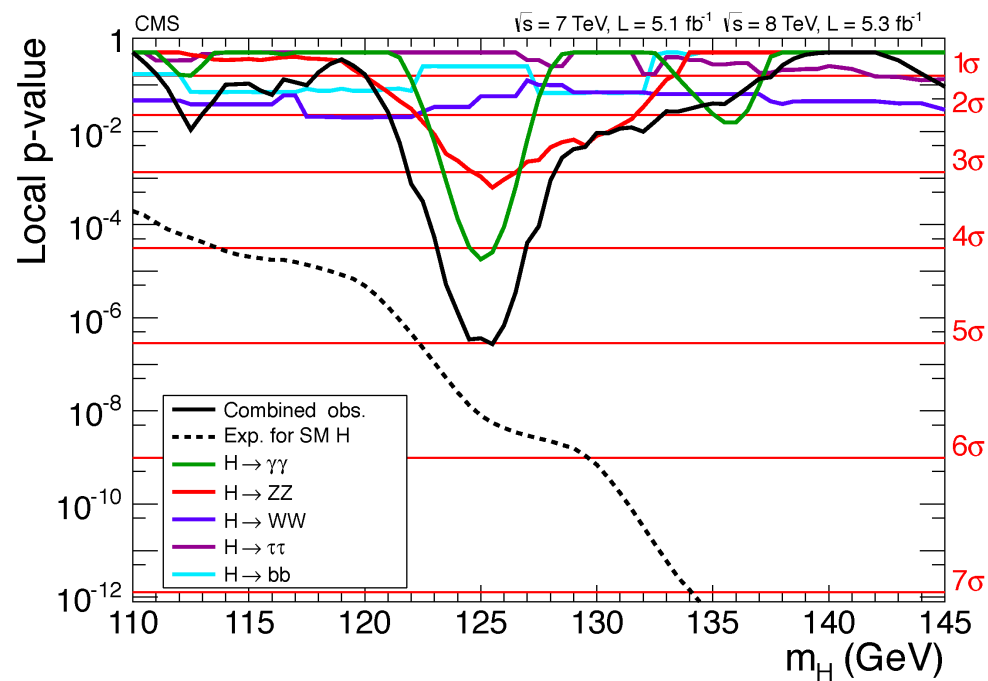
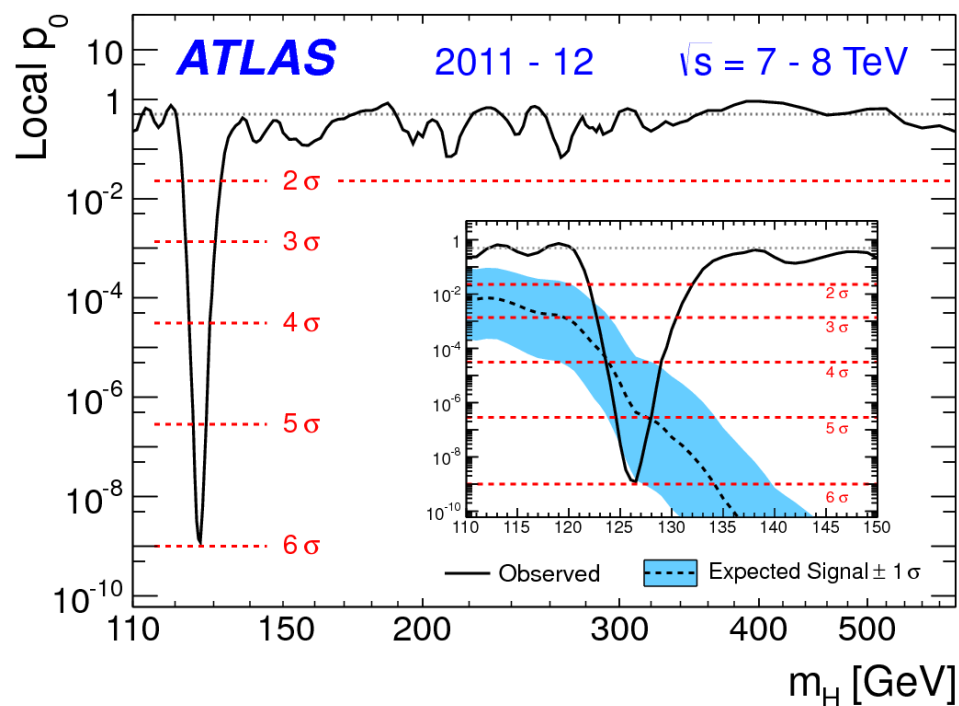


*ATLAS-CONF-2013-030*



# Découverte (1)

- ◆  $p_0$ : compatibilité des événements sélectionnés avec l'hypothèse du bruit de fond
- ◆ Significance:  $Z \sim S/\sqrt{B}$



- ◆ Plus de  $5\sigma$  dans chaque expérience !
  - degré de confiance  $> 99.999994\%$

*Phys. Lett. B 716, Sep 2012*

- ◆ Maintenant découverte dans canaux  $\gamma\gamma$ ,  $ZZ^*$  et  $WW^*$  seuls



# Découverte (2)

◆ 4 juillet 2012 au CERN





# Et après ?

- ◆ Est-ce bien le boson de Higgs du Modèle Standard ?
- ◆ Mesure de la **masse**
  - valeur non prédite
- ◆ Taux de production et **couplages**
- ◆ **Spin**





# Mesure de la masse

## ATLAS

- ◆  $H \rightarrow ZZ^* \rightarrow 4 \text{ leptons}$ 
  - $124.3^{+0.6}_{-0.5}(\text{stat})^{+0.5}_{-0.3}(\text{syst}) \text{ GeV}$
- ◆  $H \rightarrow \gamma\gamma$ 
  - $126.8 \pm 0.2 (\text{stat}) \pm 0.7 (\text{syst}) \text{ GeV}$
- ◆ Combined mass:  
 $124.3 \pm 0.2 (\text{stat})^{+0.6}_{-0.5} (\text{syst}) \text{ GeV}$

## CMS

- ◆  $H \rightarrow ZZ^* \rightarrow 4 \text{ leptons}$ 
  - $125.8 \pm 0.5 (\text{stat}) \pm 0.2 (\text{syst}) \text{ GeV}$
- ◆  $H \rightarrow \gamma\gamma$ 
  - $125.4 \pm 0.5 (\text{stat}) \pm 0.6 (\text{syst}) \text{ GeV}$
- ◆ Combined mass:  
 $125.7 \pm 0.3 (\text{stat}) \pm 0.3 (\text{syst}) \text{ GeV}$

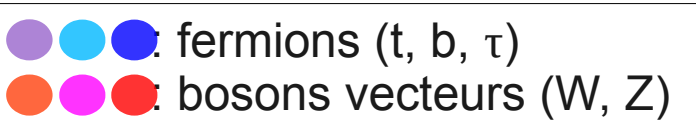
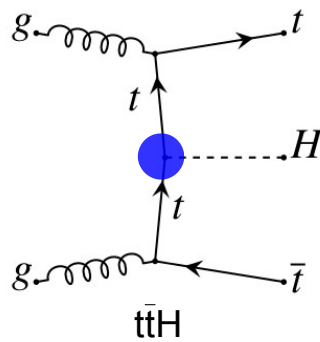
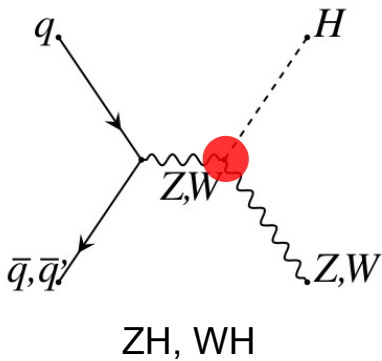
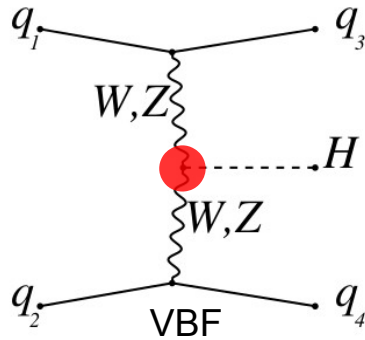
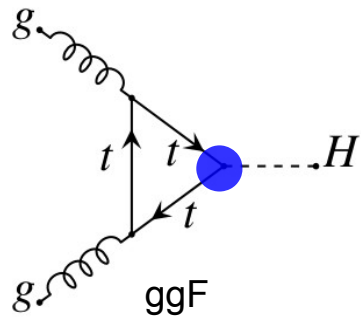
ATLAS-CONF-2013-014

CMS-PAS-HIG-13-005

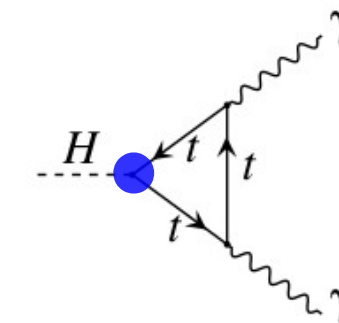
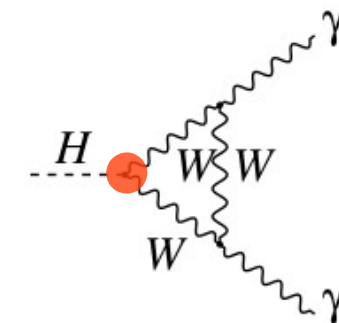
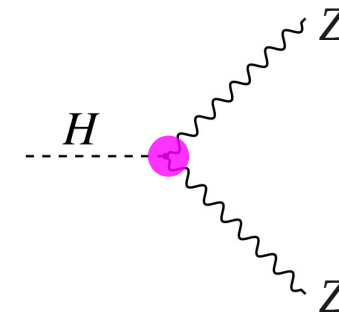
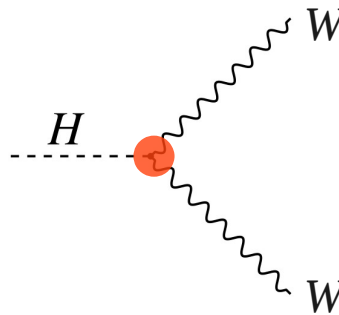
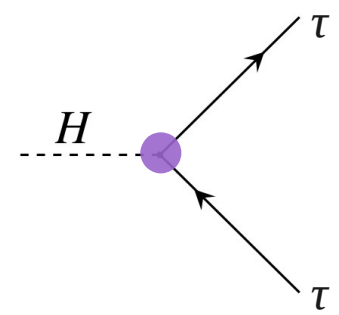
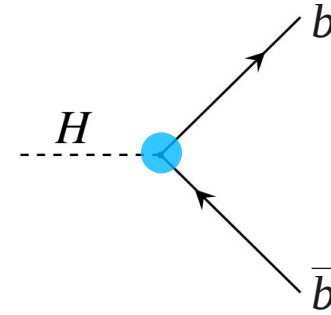


# Couplages du boson de Higgs

## ◆ Modes de production :



## ◆ Canaux de désintégration :



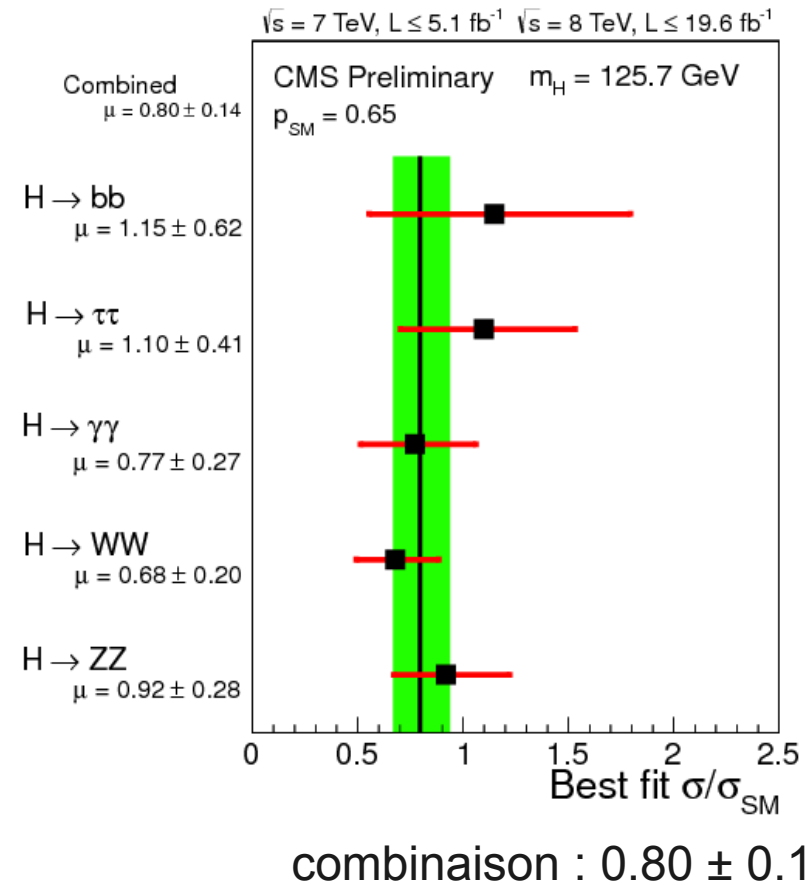
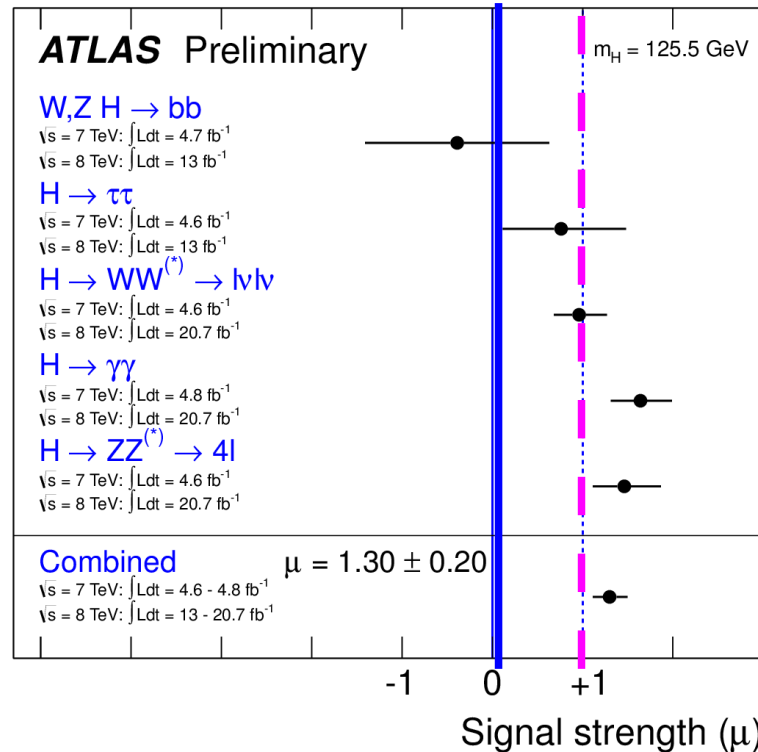
## ◆ Mesures des sections efficaces et largeurs partielles de désintégration ⇒ remonter aux couplages



# Taux de désintégration

◆ Force du signal:  $\mu = \frac{N_{\text{observé}}}{N_{\text{SM Higgs}}}$

$\mu = 0$ : bruit de fond uniquement  
 $\mu = 1$ : boson de Higgs du Modèle Standard



◆ Toutes mesures compatibles avec 1

- déviation max :  $2.4\sigma$  ( $H \rightarrow \gamma\gamma$  ATLAS)

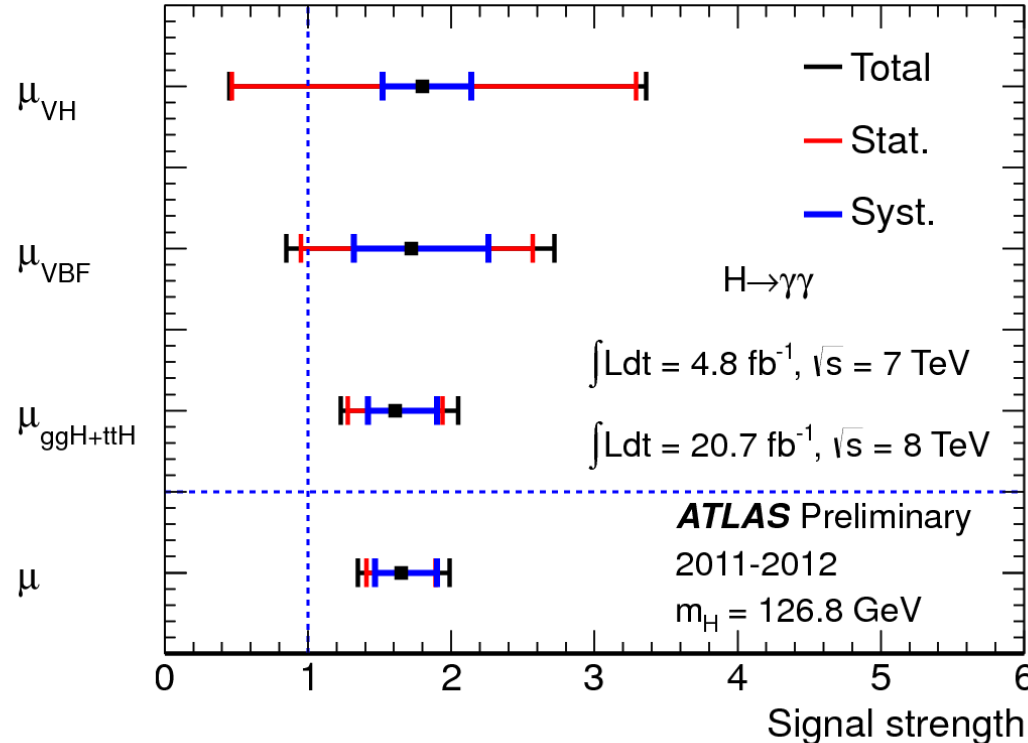


# Séparation des modes de production

◆ Analyses dédiées aux modes de production:

channel	mH (GeV)	ggF	VBF	VH	ttH
H→ZZ→4l	110-600	✓	✓	✓	
H→γγ	110-150	✓	✓	✓	
H→WW→lvlv	110-600	✓	✓	✓	
H→ττ	110-145	✓	✓	✓	
H→bb̄	110-130			✓	✓

◆ Example H → γγ:



$$\mu = \frac{N_{\text{observé}}}{N_{\text{SM Higgs}}}$$

ATLAS-CONF-2013-012

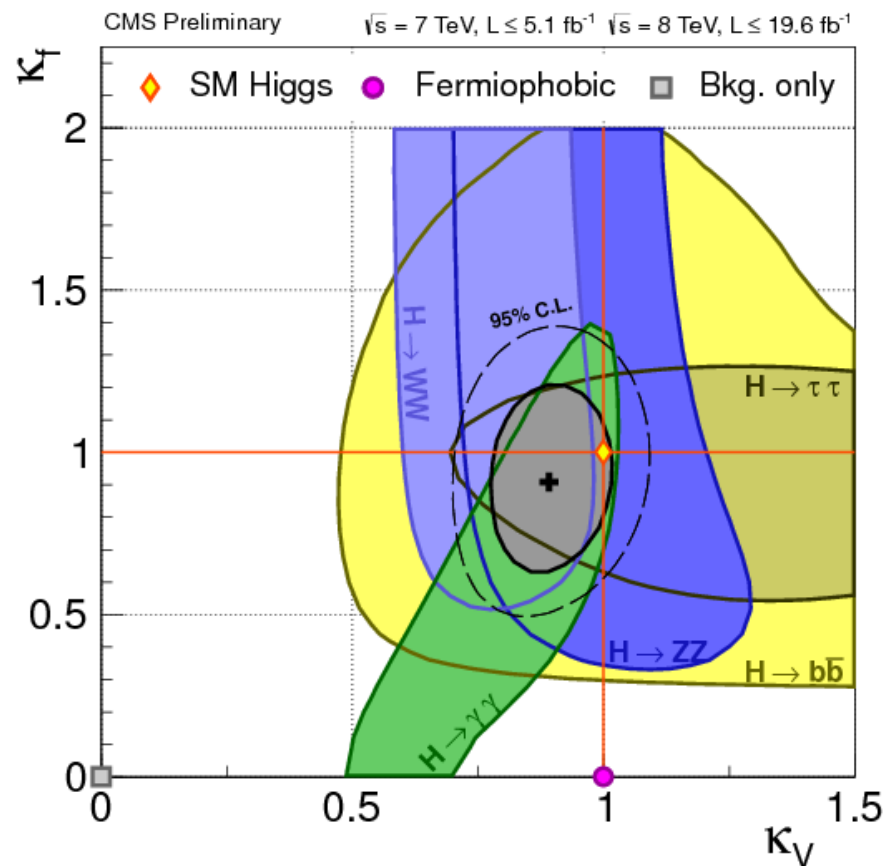




# Premières mesures de couplages (1)

## ◆ Comparaison aux couplages prédits par le Modèle Standard

- $\kappa_V$  : couplages aux bosons vecteurs
  - $\kappa_F$  : couplages aux fermions
- } ratio par rapport au Modèle Standard



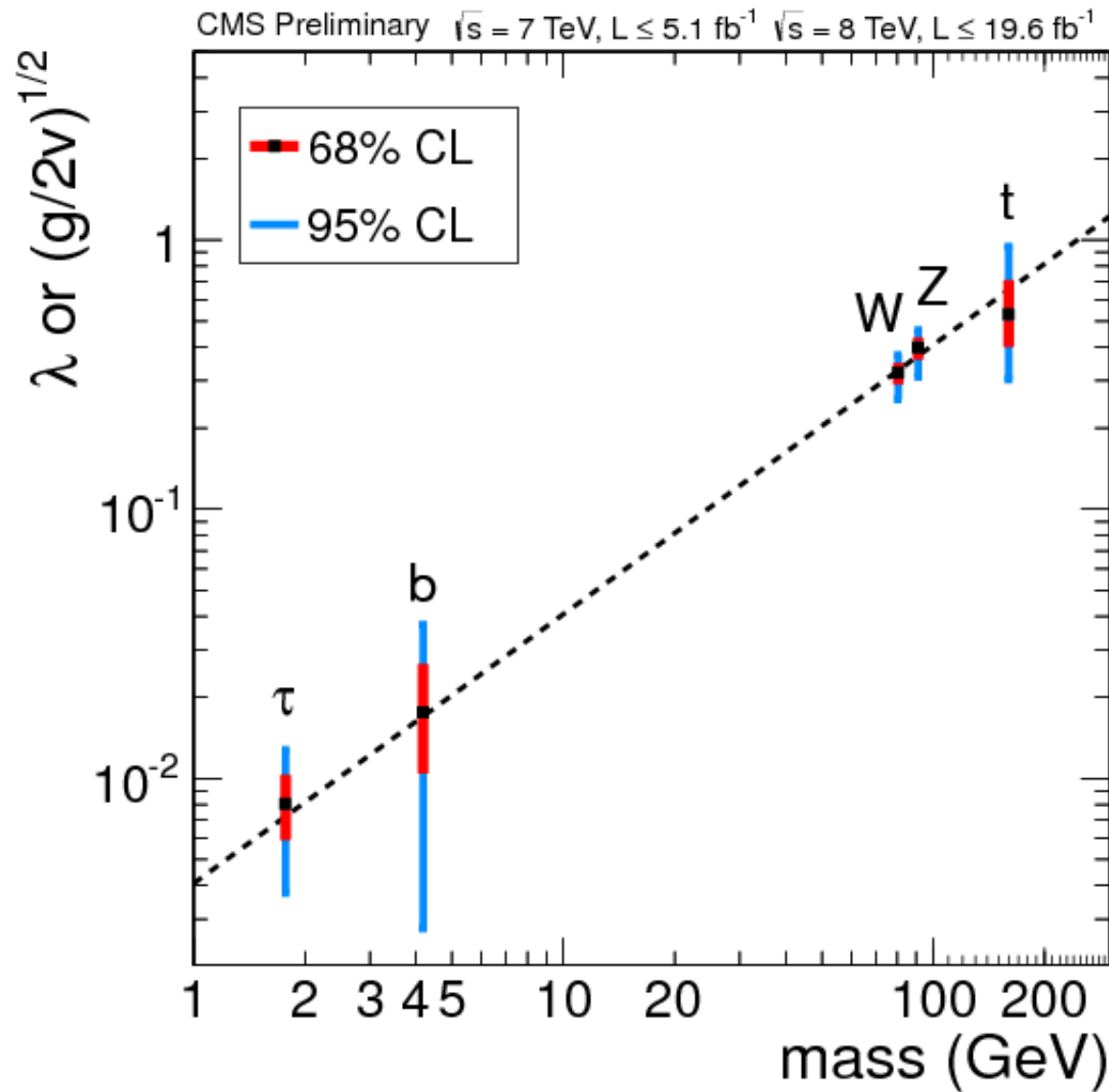
*CMS-PAS-HIG-13-005*

## ◆ Pour l'instant, **couplages compatibles avec les prédictions**



# Premières mesures de couplages (2)

- ◆ Couplage du boson de Higgs aux particules  $\propto$  leur masse



*CMS-PAS-HIG-13-005*

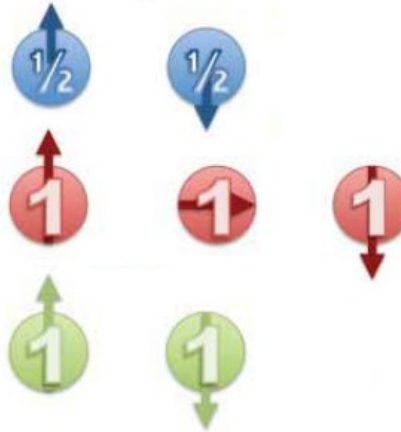


# Mesure de spin (1)

◆ Boson de Higgs de **spin 0**

◆ Spin des autres particules :

- leptons, quarks :  $+1/2, -1/2$



- W, Z :  $+1, 0, -1$

-  $\gamma$  :  $+1, -1$

◆ Valeurs autorisées selon le mode de désintégration :

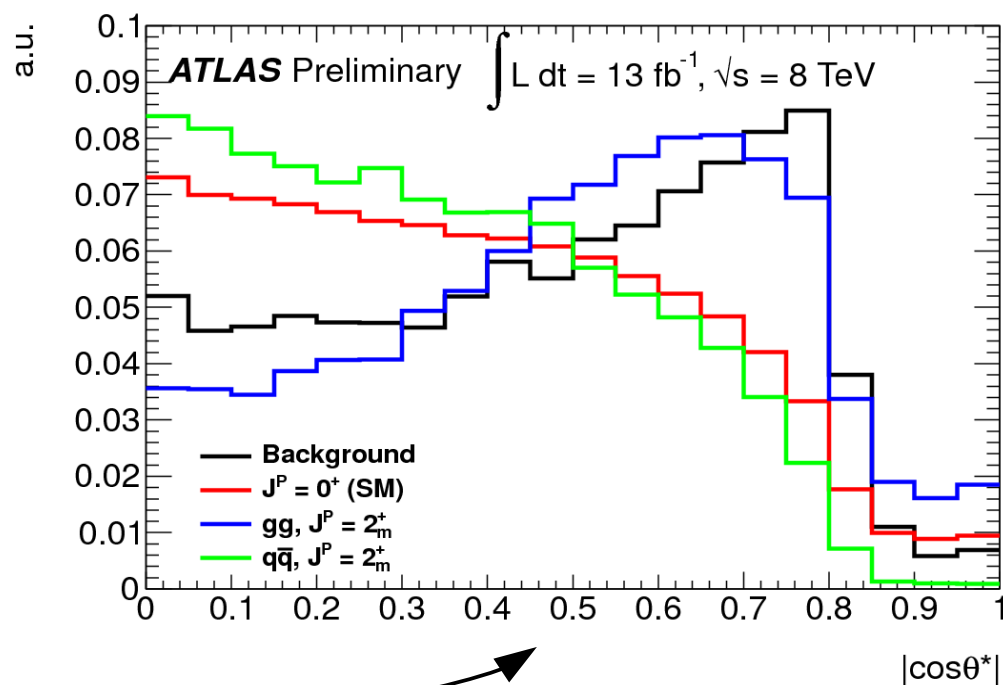
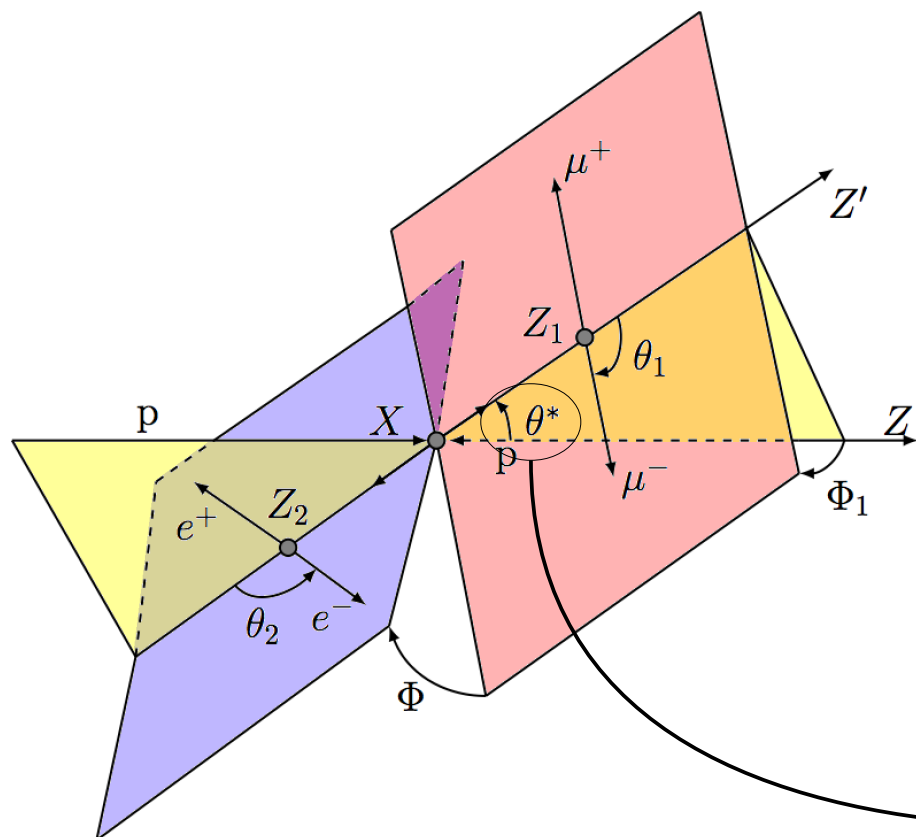
	spin 0	spin 1	spin 2
$H \rightarrow WW, H \rightarrow ZZ$	✓	✓	✓
$\gamma\gamma$	✓	✗	✓
$H \rightarrow \tau\tau, H \rightarrow b\bar{b}$	✓	✓	✗

← pas encore observé



# Mesure de spin (2)

◆ Tests des hypothèses de spin avec variables angulaires :



◆ Résultats:

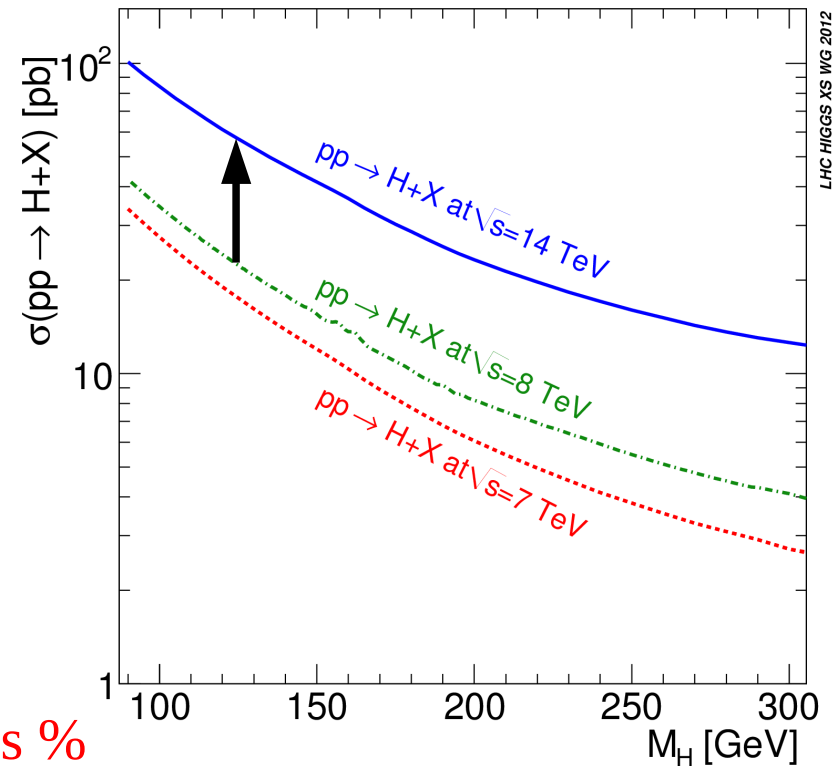
- spin 2 exclu à >99.9%
- compatible avec spin 0

*ATLAS-CONF-2013-040*

*CMS-PAS-HIG-13-002*

# Conclusion

- ◆ Découverte en juin 2012 d'un boson de Higgs
  - 48 ans après sa prédiction !
- ◆ Masse  $\sim 125$  GeV
- ◆ **Couplages** compatibles avec prédictions
- ◆ **Spin** compatible avec 0
- ◆ En 2015:  $\sqrt{s} = 13$  TeV
  - $\sigma(\text{Higgs}) \times 2.5$
- ◆ A la fin du LHC, mesures **couplages à quelques %**



8 TeV

20 fb<sup>-1</sup>

~13 TeV

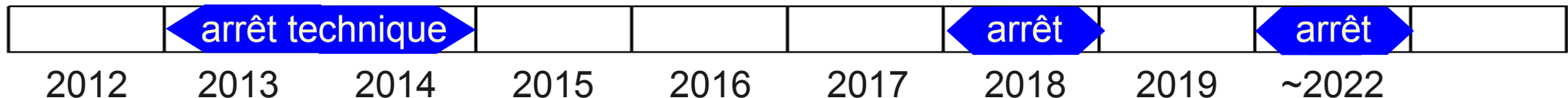
75-100 fb<sup>-1</sup>

~14 TeV

350 fb<sup>-1</sup>

~14 TeV

3000 fb<sup>-1</sup>



# Back-up slides



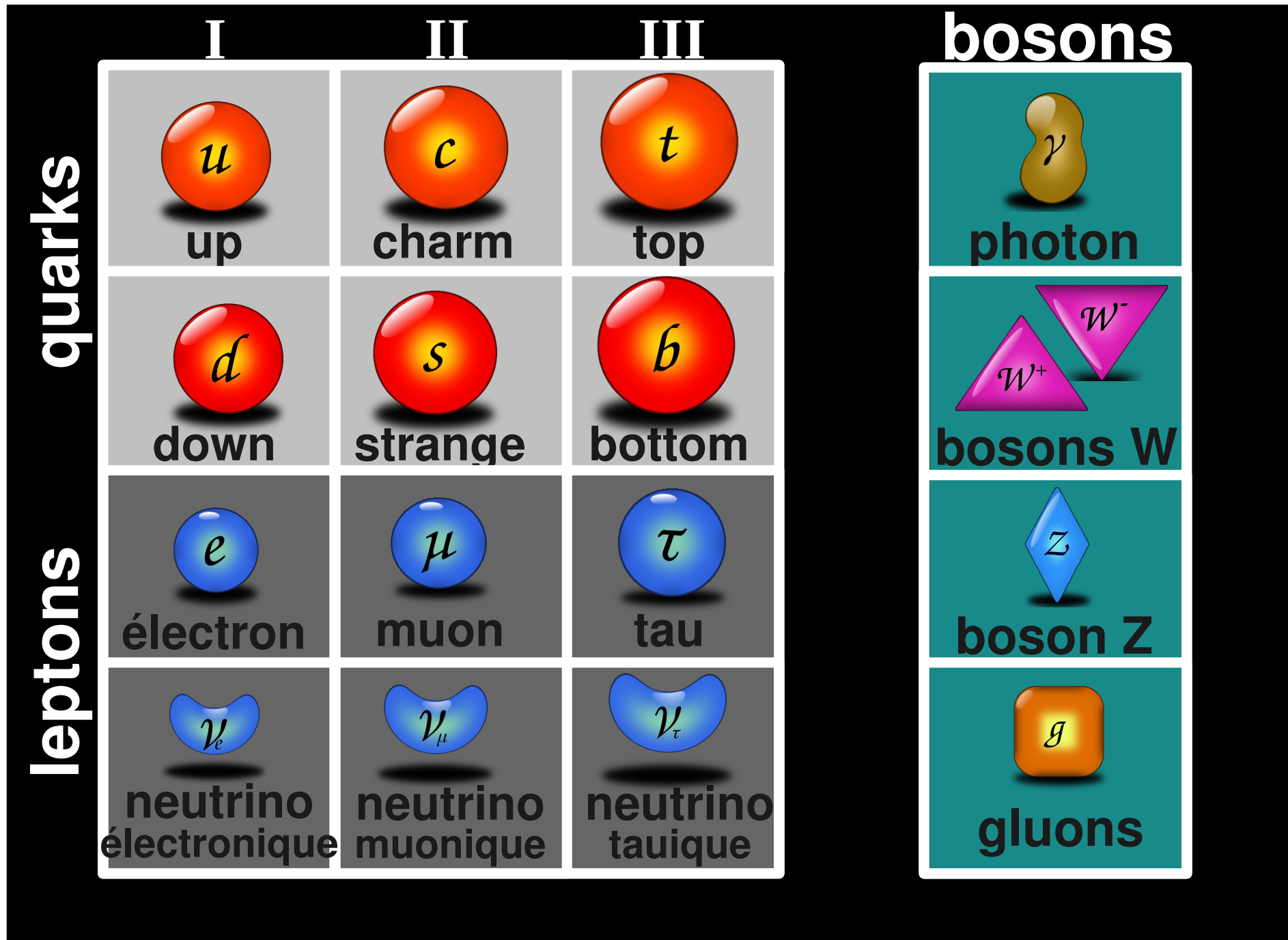
"Take a look at this everyone - it just could be the signature we've been looking for!"

© If this message is present, or any other indicator that this image is being used without permission is present, a charge will be made to the user. Removing permission infringement indicators will incur higher charges and other action ©





# Le modèle standard de la physique des particules



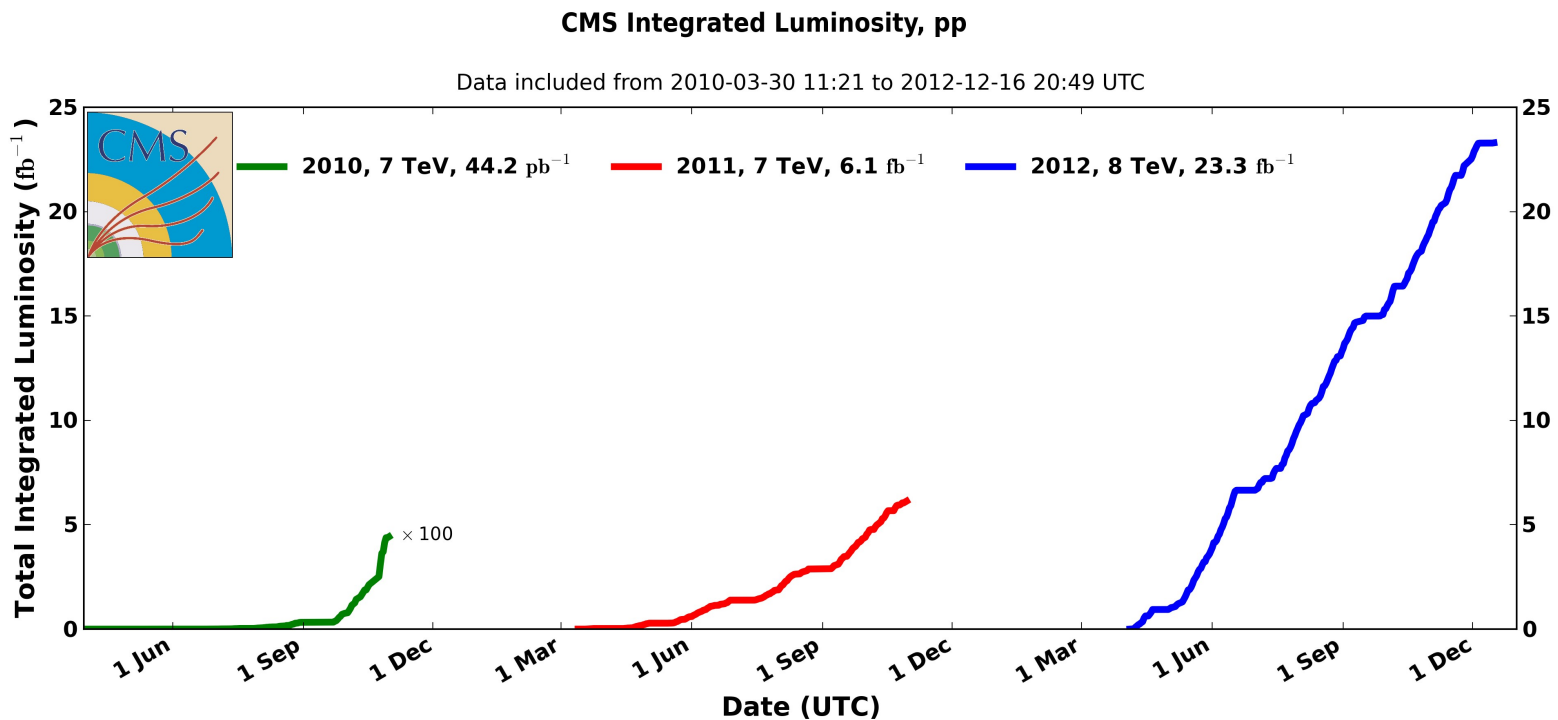




# Le LHC (3)

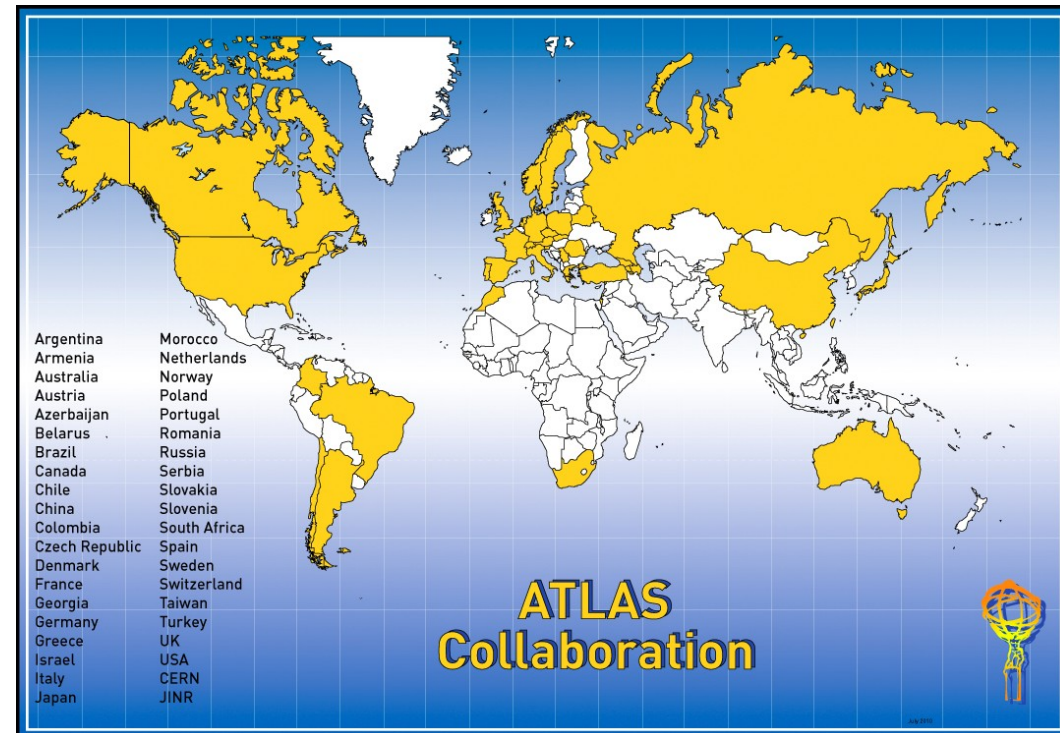
- ◆ Luminosité instantanée :  $L_{inst} = \frac{f \cdot N^2}{4 \pi \cdot \sigma_x \cdot \sigma_y}$ 
  - f: fréquence de révolution
  - N: nombre de paquets
  - $\sigma$ : taille transverse des faisceaux

- ◆ Luminosité intégrée :  $L_{tot} = \int L_{inst} dt$





# Collaborations





# The ATLAS experiment

## Inner detector (2 T)

$$|\eta| < 2.5$$

Si Pixel et SCT, TRT  
tracks, vertex

$$\sigma/p_T \sim 0.05\% p_T \text{ (GeV)} \oplus 1\%$$

## Electromagnetic calorimeter

$$|\eta| < 3.2$$

Pb + LAr

electrons, photons, trigger

$$\sigma/E \sim 10\%/\sqrt{E} \text{ (GeV)} \oplus 0.7\%$$

## Hadronic calorimeter

$$|\eta| < 4.9$$

Fe/Tile (central)

Cu/W + LAr (forward)

jets,  $E_T^{\text{miss}}$ , trigger

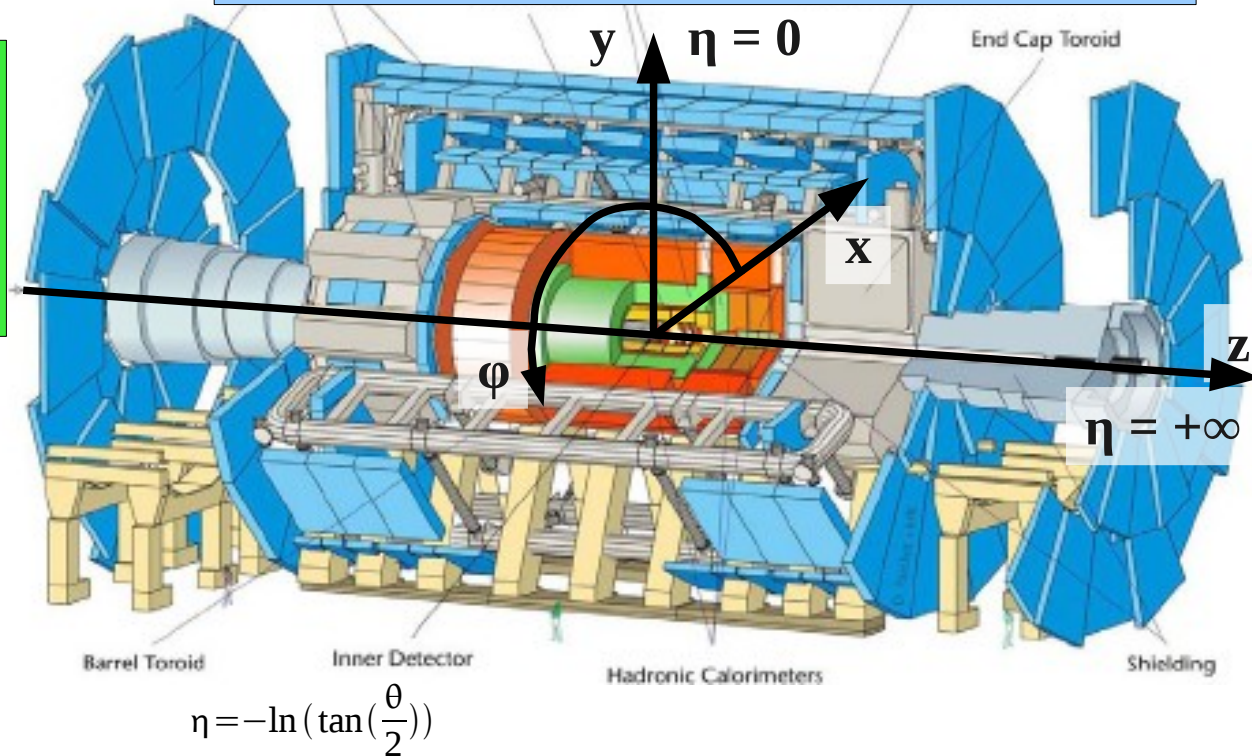
$$\sigma/E \sim 50\%/\sqrt{E} \text{ (GeV)} \oplus 3\%$$

## Muon spectrometer (0.5 T)

$$|\eta| < 2.7$$

gas chamber in toroidal magnetic field  
tracks, trigger

$$\sigma/p_T < 10\% \text{ up to 1 TeV}$$



- ◆ > 96% operating channels
- ◆ > 90% of data used for physics

➔ Very good behaviour of all sub-detector

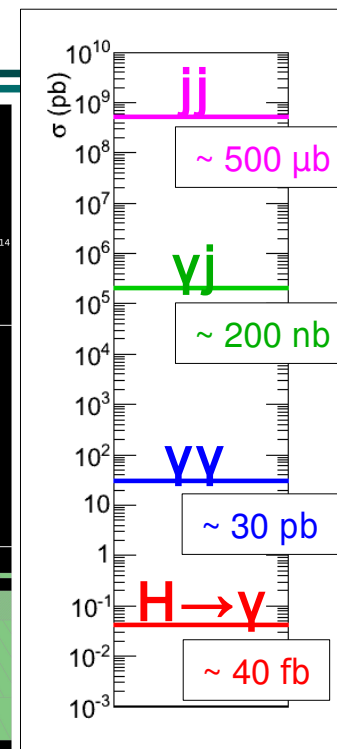
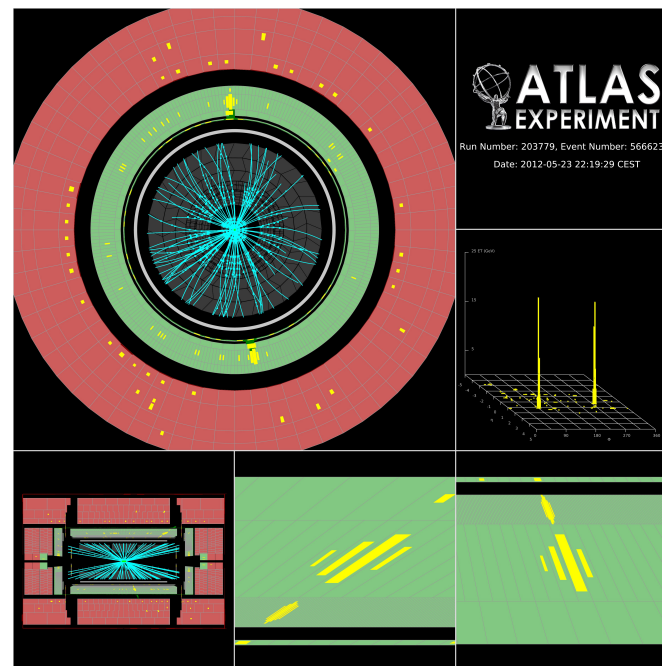
38 countries  
~ 3000 members



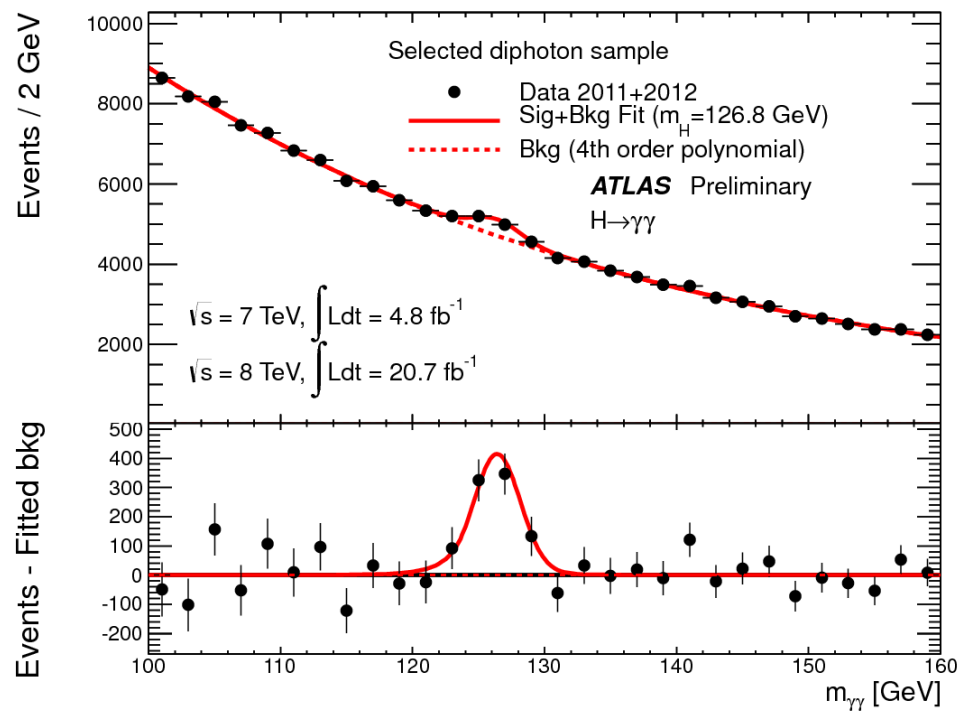
# Recherche dans le canal di-photons

## ◆ Sélection des événements

- 2 photons isolés
- $E_T^1 > 40 \text{ GeV}$ ,  $E_T^2 > 30 \text{ GeV}$
- identification photons / jets  
(~75% d'événements di-photons)



## ◆ Fit des données pour recherche excès



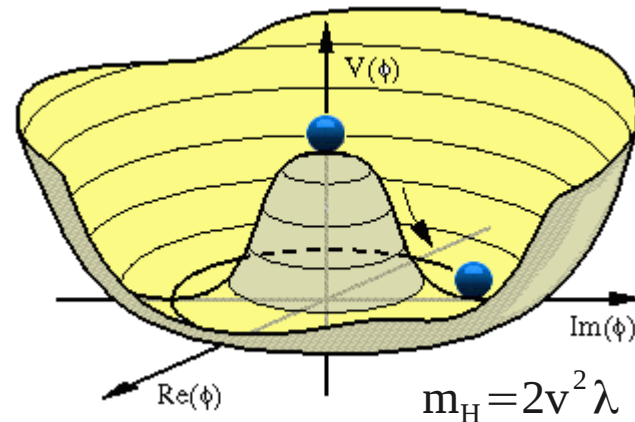
ATLAS-CONF-2013-012



# Premières mesures de couplages

## ◆ Couplage du boson de Higgs aux particules $\propto$ leur masse

- bosons:  $g_{HVV} \propto \frac{m_V^2}{v} \propto m_W \propto \frac{m_Z}{2\cos(\theta_W)}$
- fermions:  $g_{Hff} \propto \frac{m_f}{v} \propto \frac{m_f}{2m_W} \propto m_f \cdot \sqrt{\frac{2 \cdot \lambda}{m_H}}$
- $v$  : vacuum expectation value,  $v = \frac{1}{(\sqrt{2} G_F)^{1/2}} = \frac{2m_W}{g}$

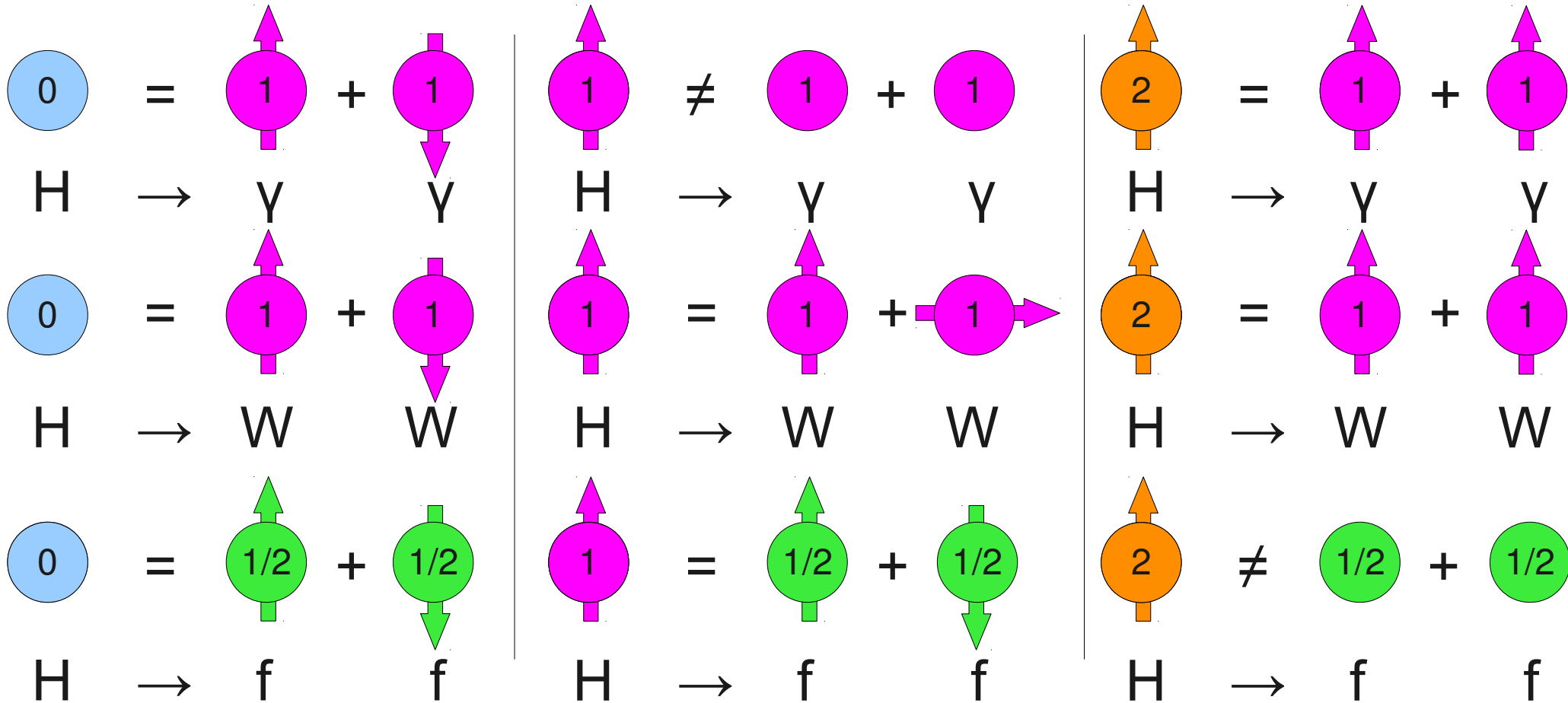




# Mesure de spin

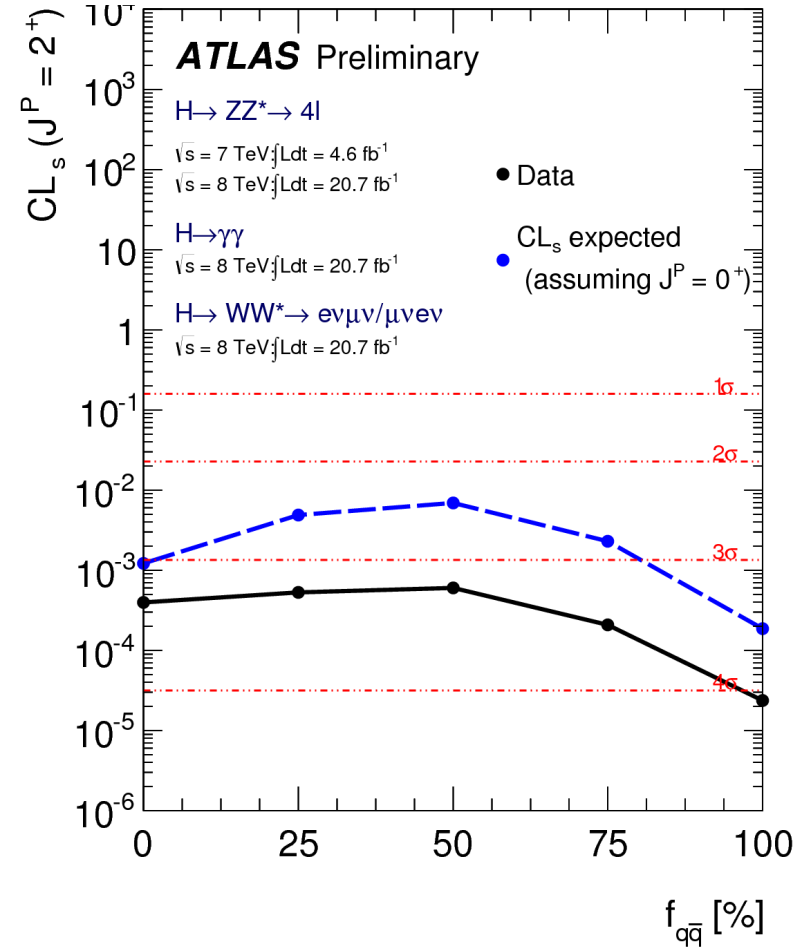
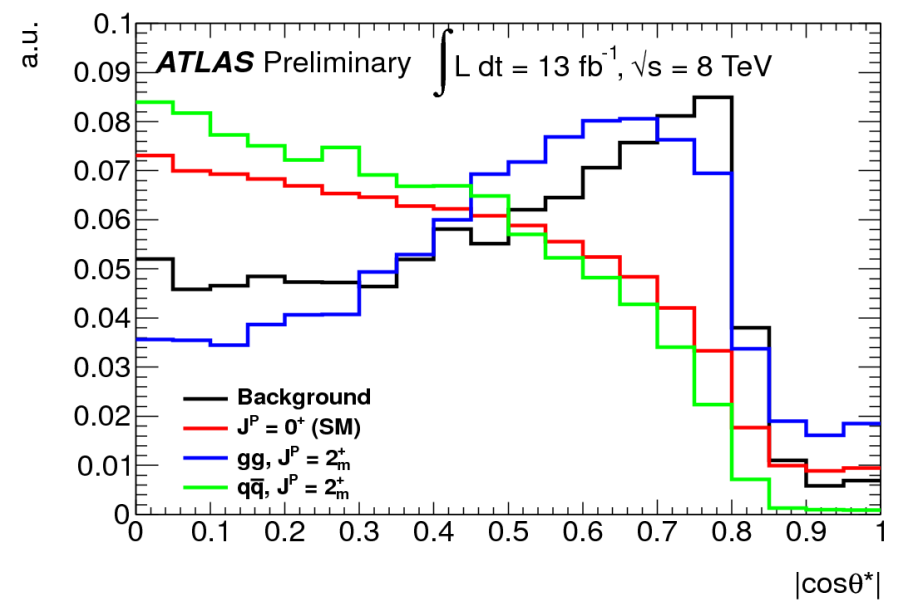
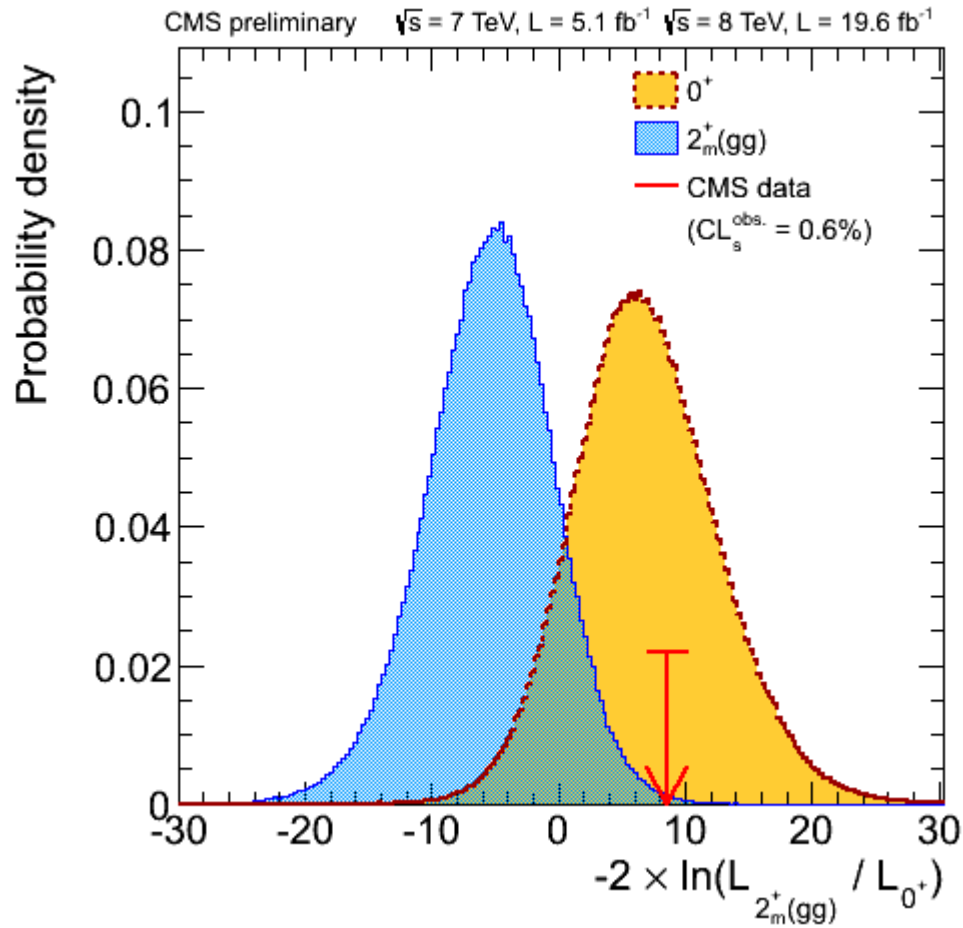
◆ Boson de Higgs de spin 0

◆ Valeurs autorisées selon le mode de désintégration :





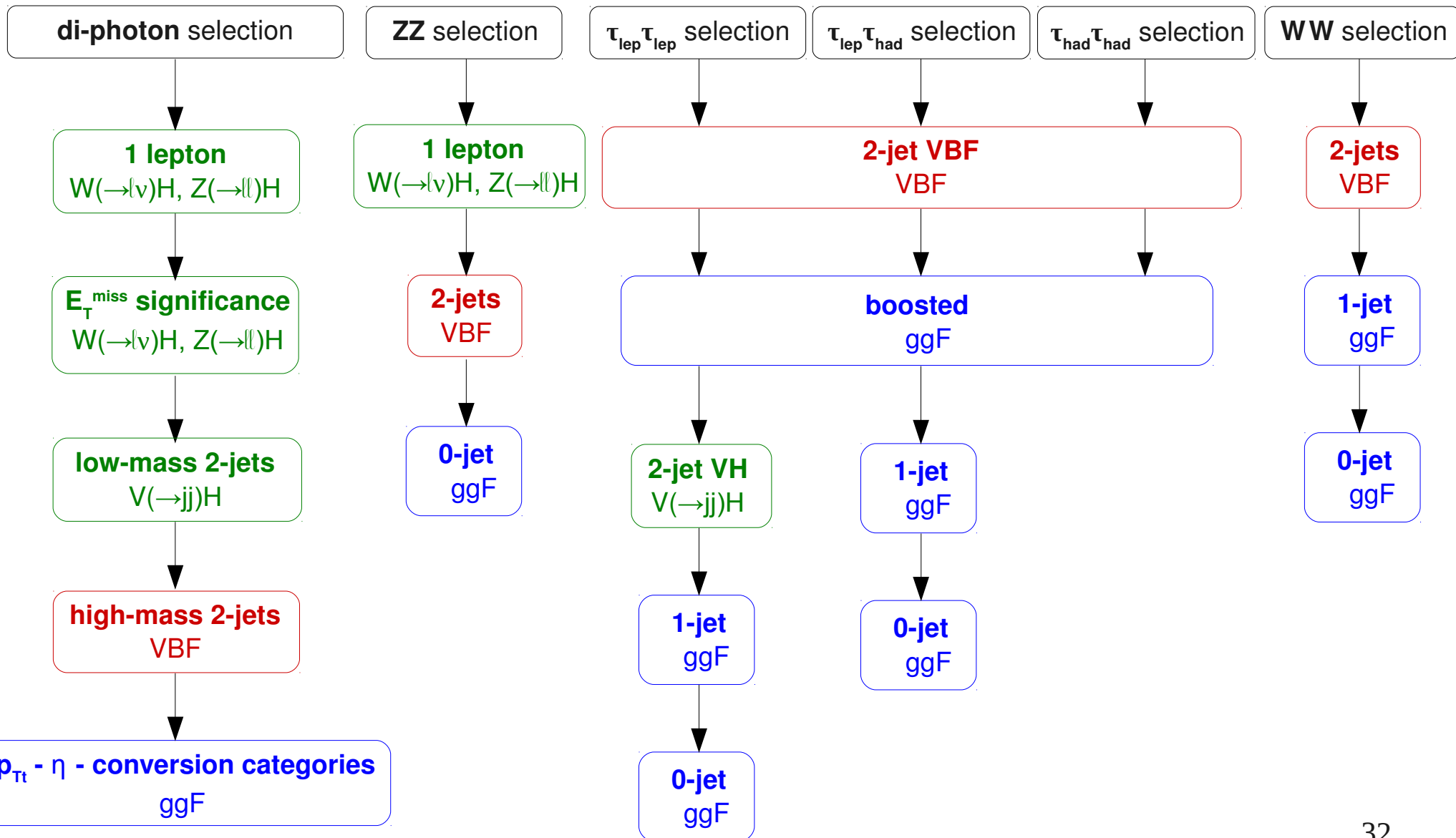
# Spin results





# Analyses flow-charts

◆ Datasets divided in exclusive categories

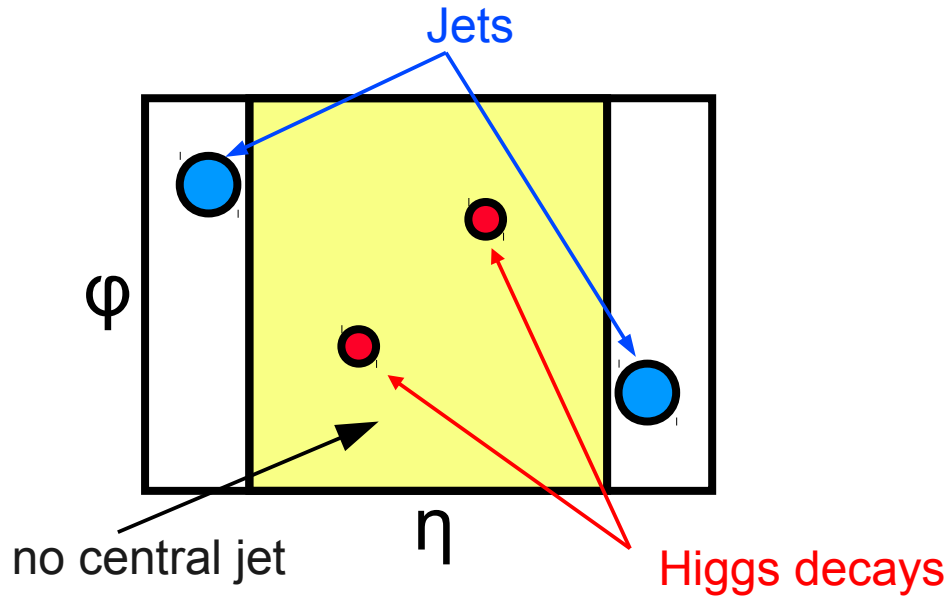






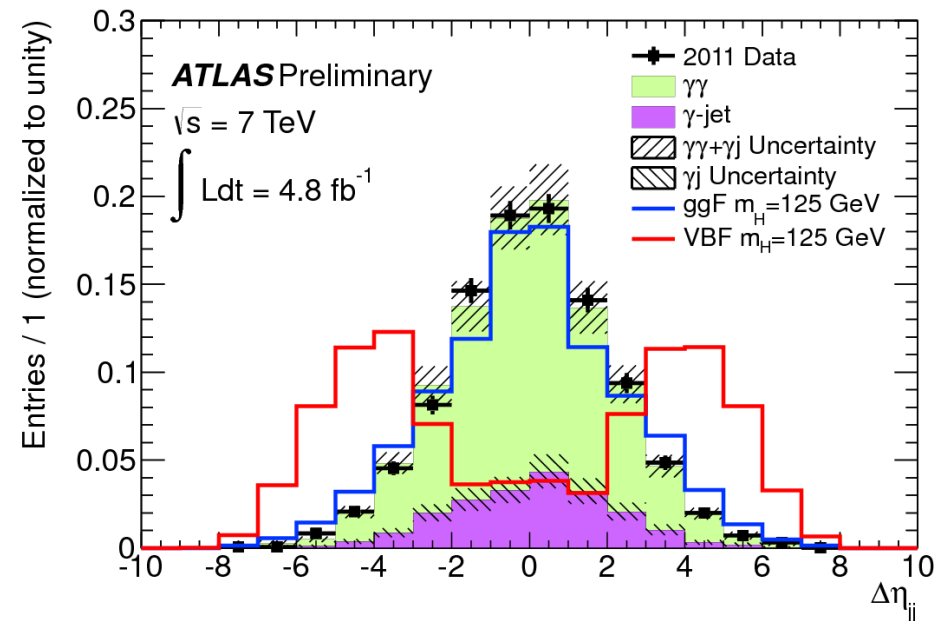
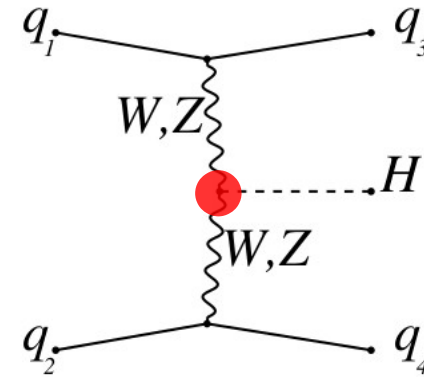
# Look for VBF mode

- ◆ Cross-section at 125 GeV: 1.578 pb
- ◆ Higgs boson produced with 2 forward jets:



- ◆ Usual cuts:
  - $\Delta\eta_{jj}$
  - $m_{jj}$
  - veto 3<sup>rd</sup> central jet

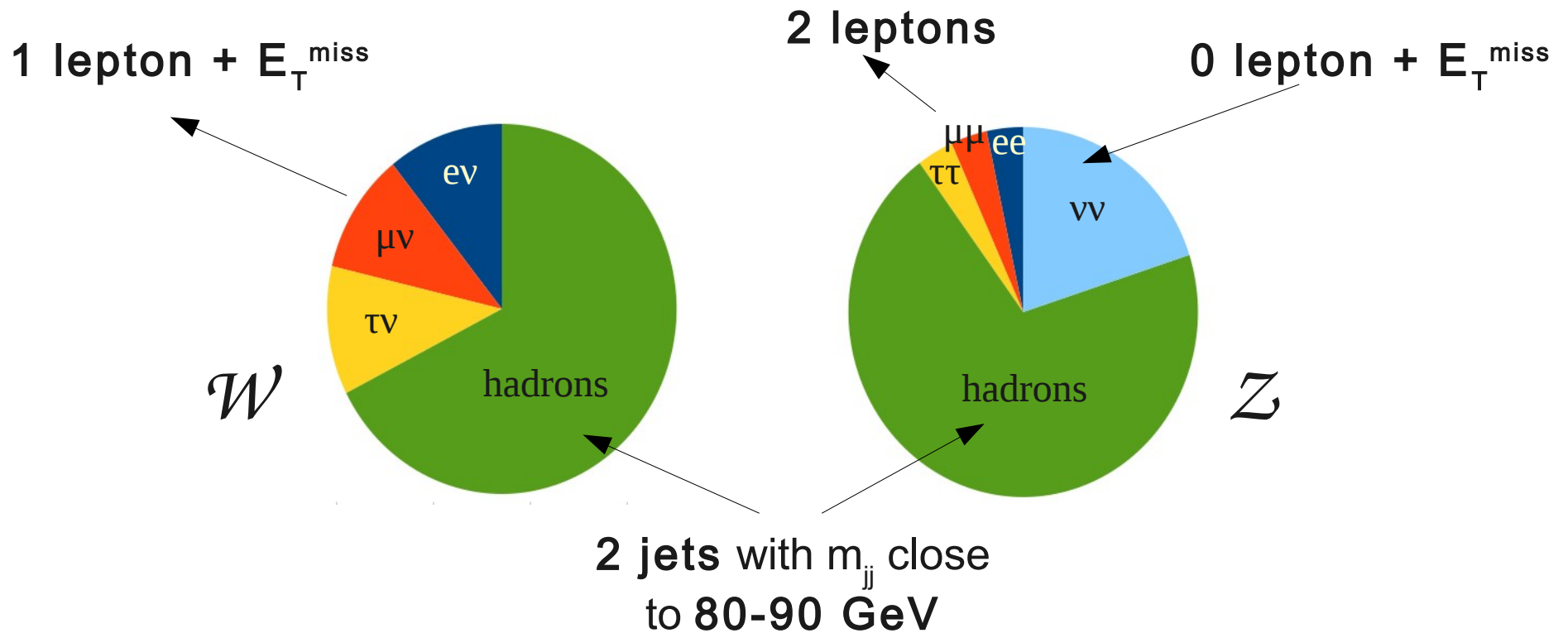
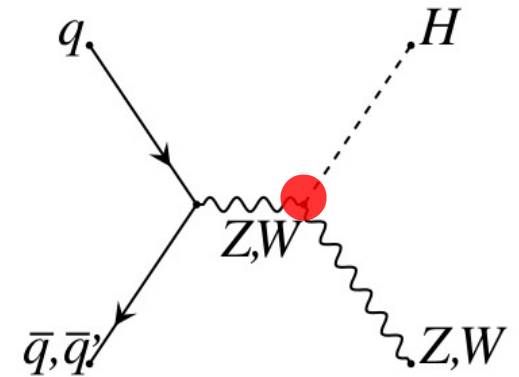
- ◆ One of main uncertainties: knowledge of ggF + 2 jets
  - 25% to 30%





# Look for VH mode

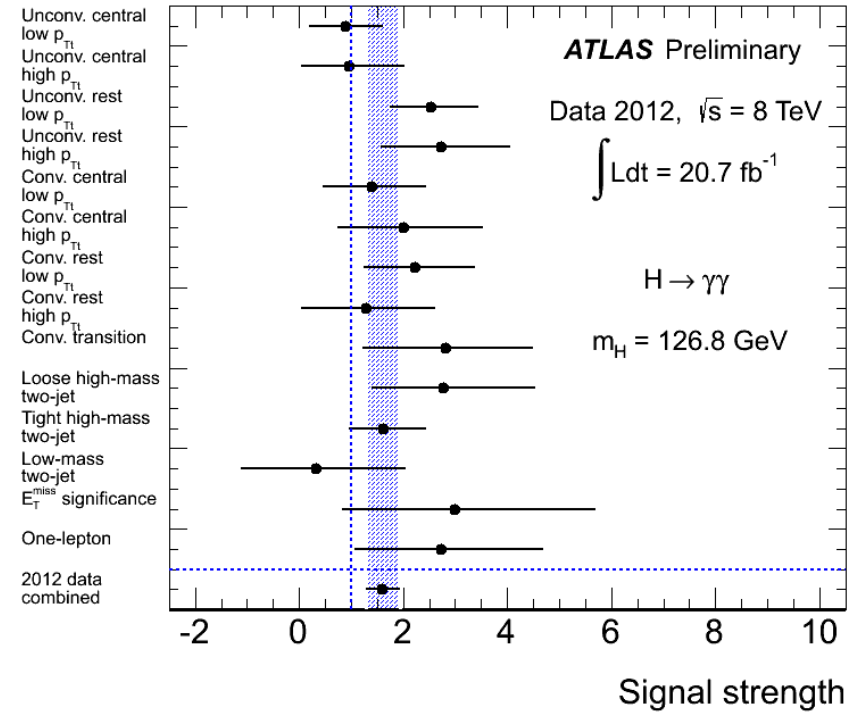
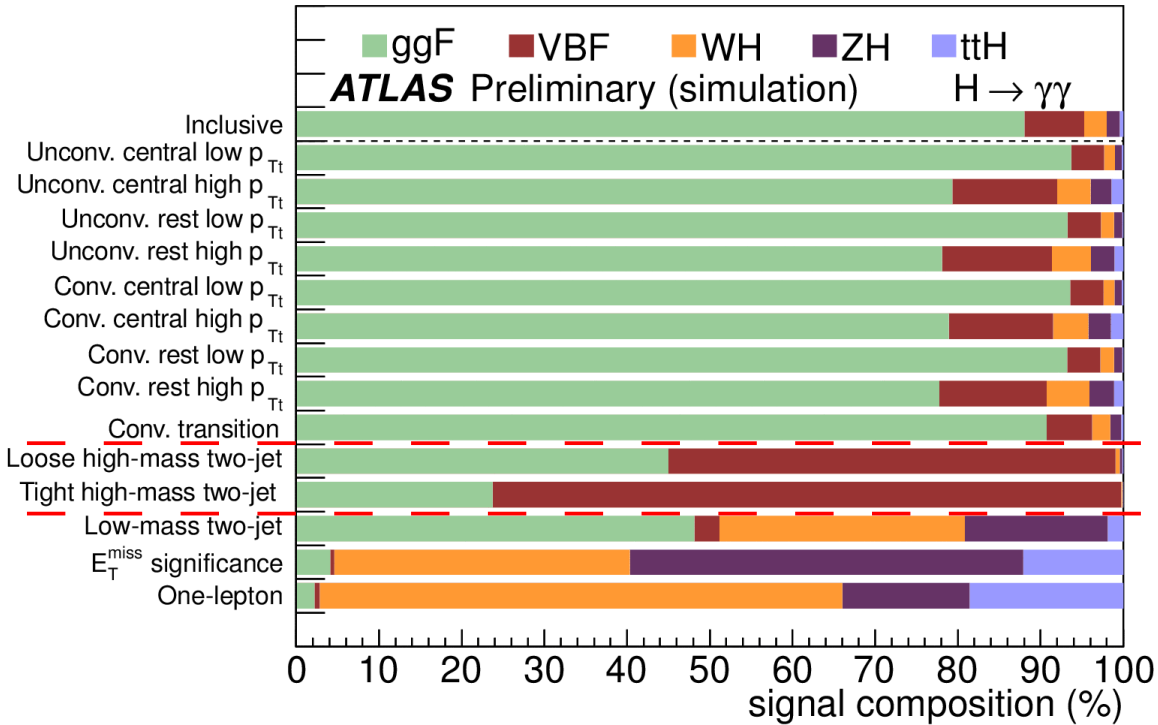
- ◆ Cross-section at 125 GeV:  $0.6966 + 0.3943$  pb
- ◆ Divide into categories depending on the W/Z decay





# H → γγ: signal strength / category

## ◆ Signal composition /category:



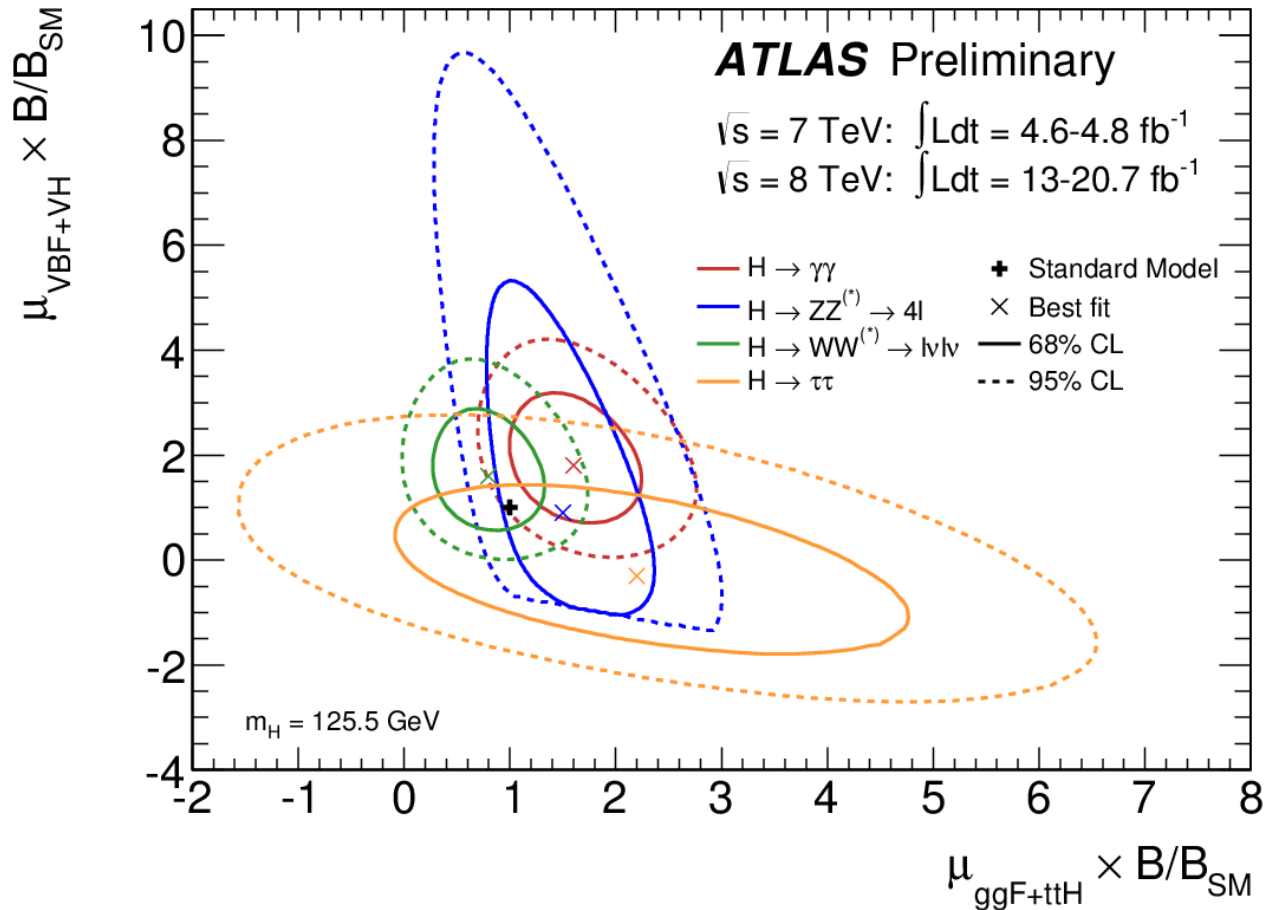
## ◆ None of those categories is 100% pure in targeted process



# Signal strength / production mode

- ◆ Signal strength parameter for each production mode:  $\mu_i = \frac{N_i^{\text{observed}}}{N_i^{\text{SMHiggs}}}$ 
  - $i = \text{ggF, VBF, VH, ttH}$

- ◆ For  $H \rightarrow ZZ$ ,  $H \rightarrow \tau\tau$  and  $H \rightarrow WW$  channels





# Coupling fits

◆  $4.8 \text{ fb}^{-1} \sqrt{s}=7 \text{ TeV}$ ,  $5.8 \text{ fb}^{-1} \sqrt{s}=8 \text{ TeV}$

◆ **Global fits** with 5 channels

◆ Hypotheses:

- single resonance
- spin 0
- Higgs boson width negligible

◆ Cross-section expressed as:  $\sigma \cdot \text{BR} (ii \rightarrow H \rightarrow ff) = \frac{\sigma_{ii} \cdot \Gamma_{ff}}{\Gamma_H}$

◆ To compare  $\sigma_{ii}$  and  $\Gamma_{ii}$  to SM predictions, introduce **scale factors**  $\kappa_i$

- example 1 :  $\kappa_W^2 = \frac{\sigma_{WH}}{\sigma_{WH}^{SM}}$  and  $\kappa_W^2 = \frac{\Gamma_{WW^*}}{\Gamma_{WW^*}^{SM}}$

- example 2:  $\frac{\Gamma_{\gamma\gamma}}{\Gamma_{\gamma\gamma}^{SM}} = \kappa_\gamma^2 (\kappa_b, \kappa_t, \kappa_\tau, \kappa_W, \kappa_{\text{BSM particle ?}}, m_H)$



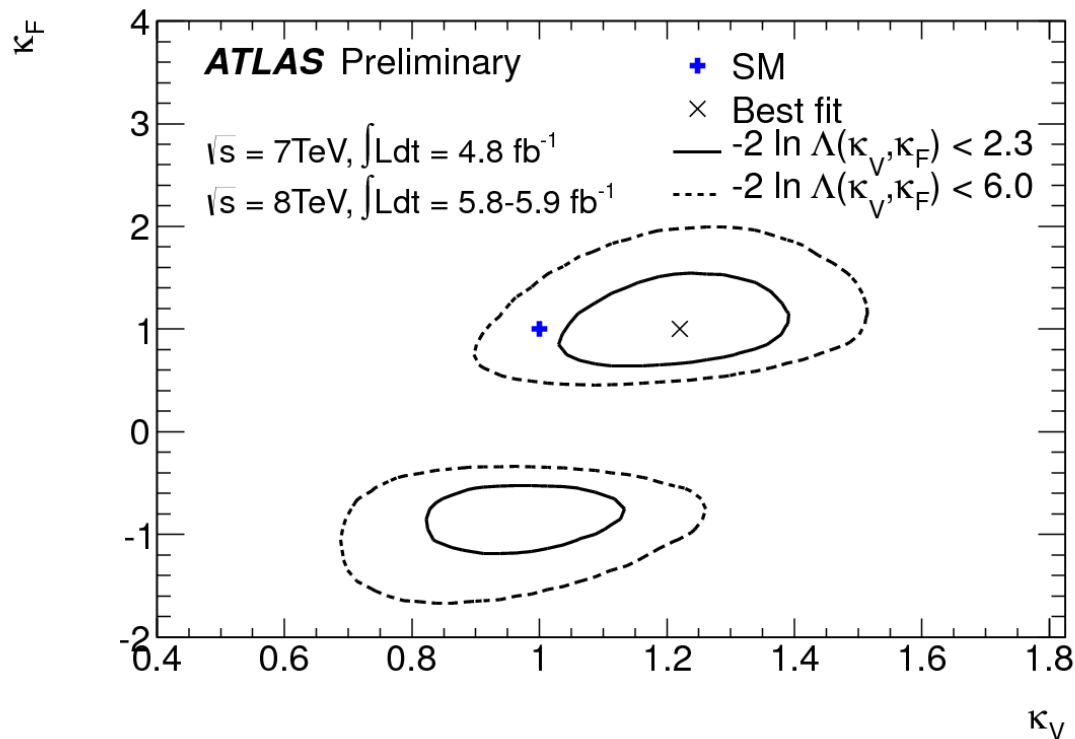
# Couplings to fermions and vector bosons

◆ Assume same scale factors for bosons and fermions

-  $\kappa_V = \kappa_W = \kappa_Z$

-  $\kappa_F = \kappa_\tau = \kappa_b = \kappa_t$

◆ Assume no BSM contribution to total width or to  $\gamma\gamma$  loop:

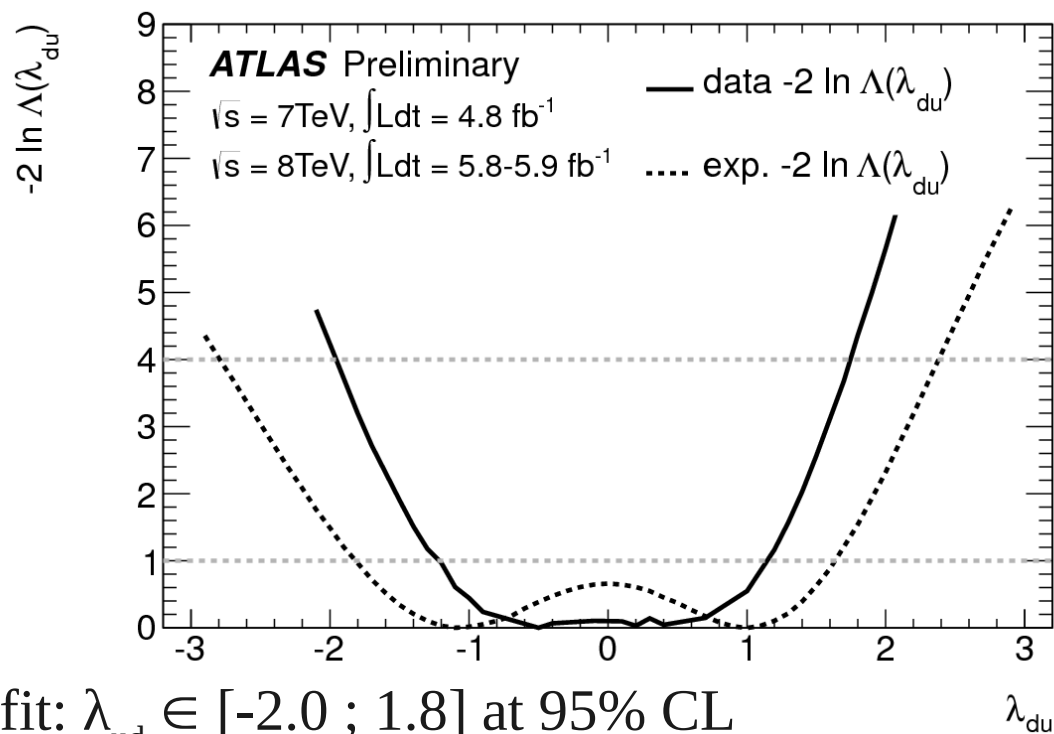


◆ Compatibility of SM with best fit point: 21%



# Up/down symmetry

- ◆ Some super-symmetry scenarios: different couplings to **up** and **down** type quarks
- ◆ Define  $\lambda_{ud} = \kappa_u / \kappa_d$ 
  - keep  $\kappa_V = \kappa_W = \kappa_Z$



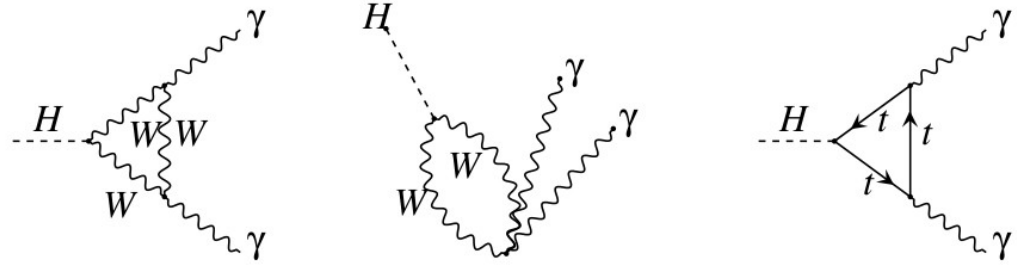
- ◆ Best fit:  $\lambda_{ud} \in [-2.0; 1.8]$  at 95% CL

- dominated by  $H \rightarrow \tau\tau$  and  $H \rightarrow b\bar{b}$



# New contributions to $gg/\gamma\gamma$ loops

◆ Main contributions to  $H \rightarrow \gamma\gamma$  decay:

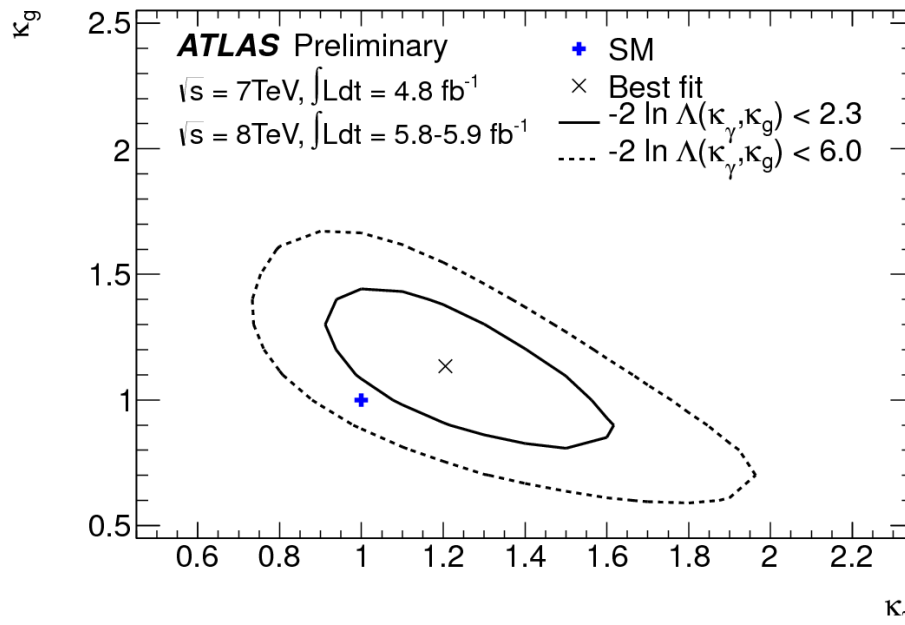
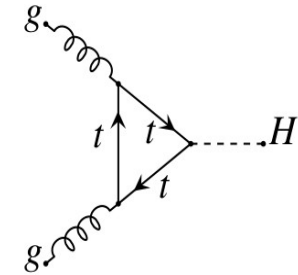


◆ Best fit signal strength:  $\mu = 1.65^{+0.34}_{-0.30}$

- one hypothesis: non-SM particles in  $\gamma\gamma$  loop

◆ Assume no Higgs boson decays into BSM particles

◆ All  $\kappa_i = 1$ , except  $\kappa_g$  and  $\kappa_\gamma$



◆ Best fit:

$$- \kappa_g = 1.1^{+0.2}_{-0.3}$$

$$- \kappa_\gamma = 1.2^{+0.3}_{-0.2}$$

◆ Compatibility of SM with best fit point: 18%





# Long term prospects (1)

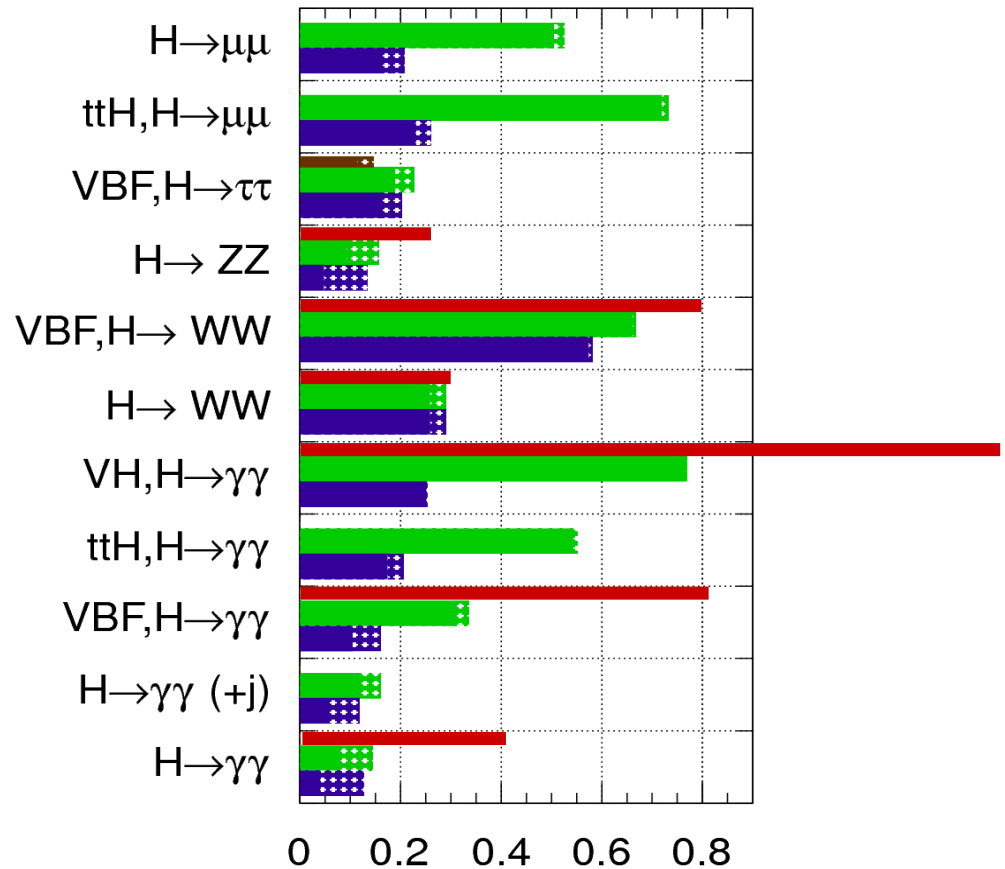
- ◆ With 2011+2012 dataset, possible to have **first test** of couplings
  - look for deviations due to Beyond SM physics

**ATLAS** Preliminary (Simulation)

$\sqrt{s} = 14$  TeV:  $\int Ldt=300 \text{ fb}^{-1}$  ;  $\int Ldt=3000 \text{ fb}^{-1}$   $\int Ldt = 25 \text{ fb}^{-1}$   
 $\int Ldt=300 \text{ fb}^{-1}$  extrapolated from 7+8 TeV

- ◆ Future of LHC
  - ~2018-2022:  $300 \text{ fb}^{-1}$
  - > ~2022: HL-LHC:  $3000 \text{ fb}^{-1}$

- ◆ Signal strengths:



$\frac{\Delta\mu}{\mu}$



# Long term prospects (2)

## ◆ Couplings parameters

- no measurement of total width
- only ratios:  $\frac{\Gamma_i}{\Gamma_j}$

## ◆ With 300 fb<sup>-1</sup>

- 20-60% precision

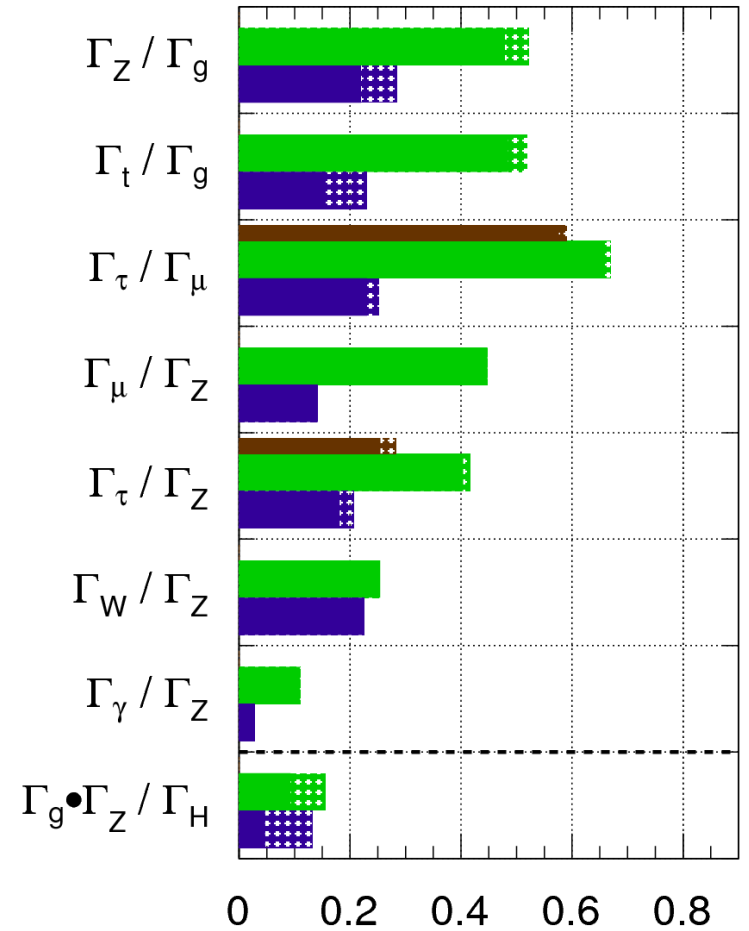
## ◆ With 3000 fb<sup>-1</sup>

- almost all couplings better than 20%
- at minimum: ~5% uncertainties

**ATLAS** Preliminary (Simulation)

$\sqrt{s} = 14$  TeV:  $\int Ldt=300$  fb<sup>-1</sup> ;  $\int Ldt=3000$  fb<sup>-1</sup>

$\int Ldt=300$  fb<sup>-1</sup> extrapolated from 7+8 TeV



$$\frac{\Delta(\Gamma_X/\Gamma_Y)}{\Gamma_X/\Gamma_Y} \sim 2 \frac{\Delta(\kappa_X/\kappa_Y)}{\kappa_X/\kappa_Y}$$



# H → ZZ\* (1)

## ◆ Two same flavour, opposite sign lepton pairs

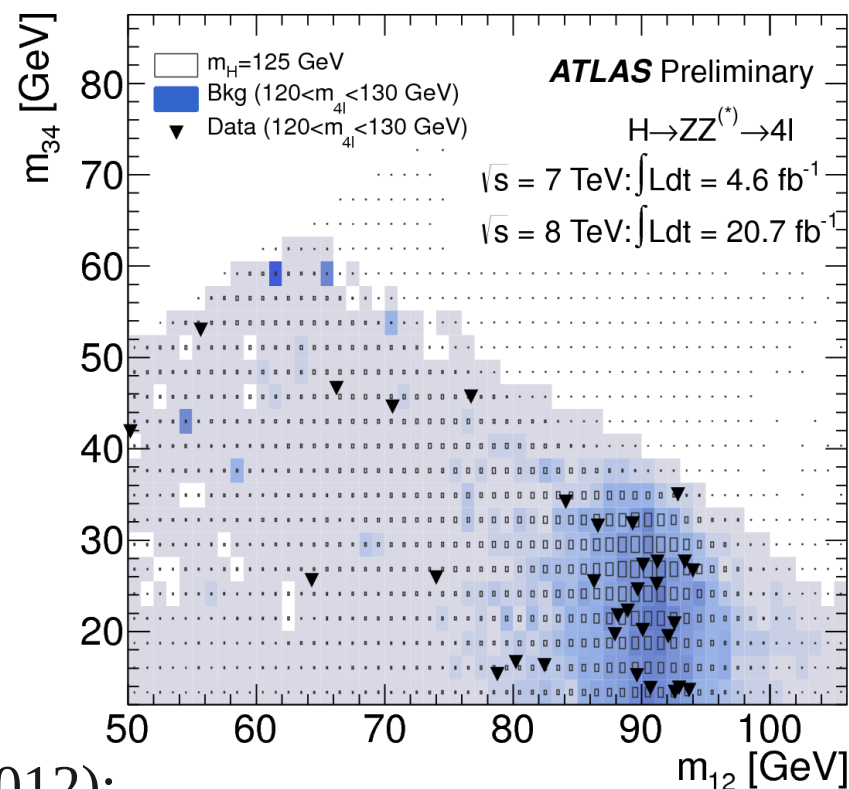
- well identified and isolated
- $p_T^l > 20-15-10-7/6$  GeV

## ◆ $50 < m_{12} < 106$ GeV

## ◆ $12 < m_{34} < 115$ GeV for $m_{4l} < 145$ GeV

## ◆ Number of expected signal events (2011+2012):

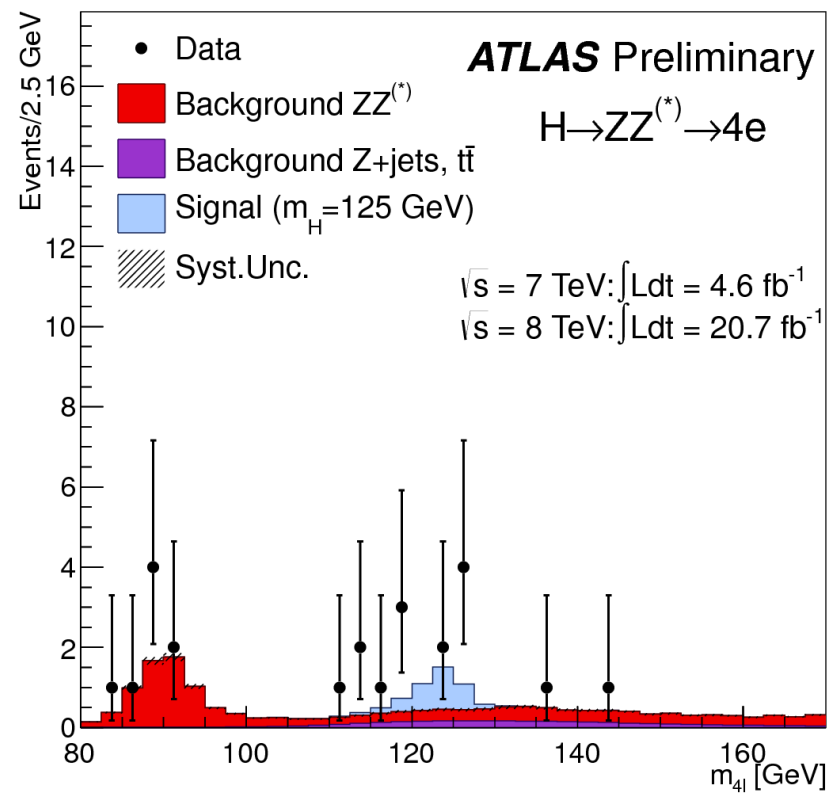
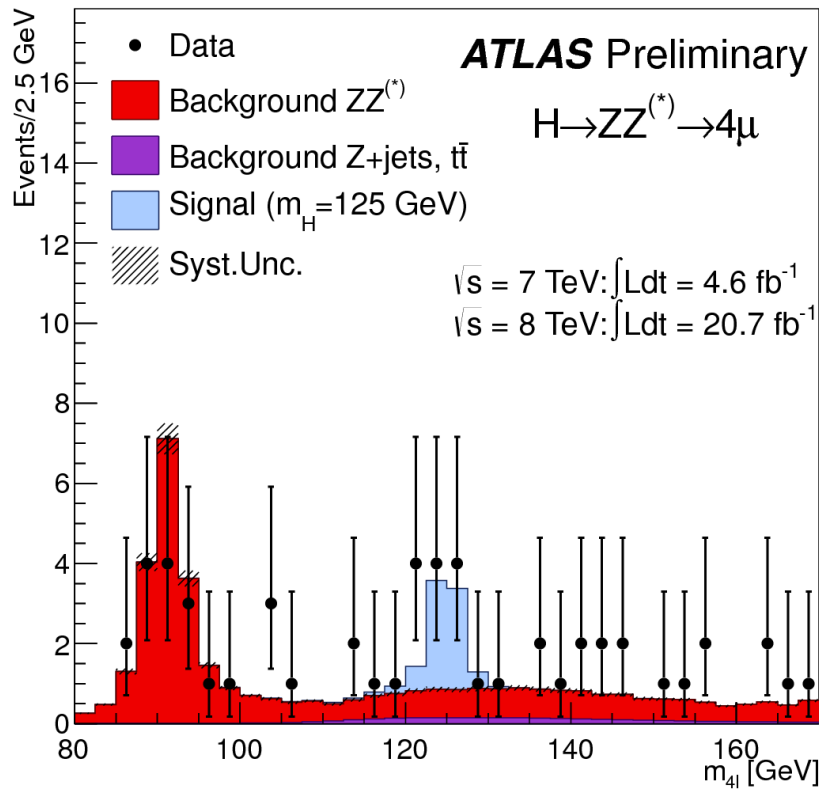
category	ggF	VBF	VH
ggF-like	15.7	0.93	0.76
VBF-like	0.31	0.49	0.01
VH-like	0.07	-	0.17



ATLAS-CONF-2013-013



# H → ZZ\* (2)



◆ In 120-130 GeV window (7+8 TeV):

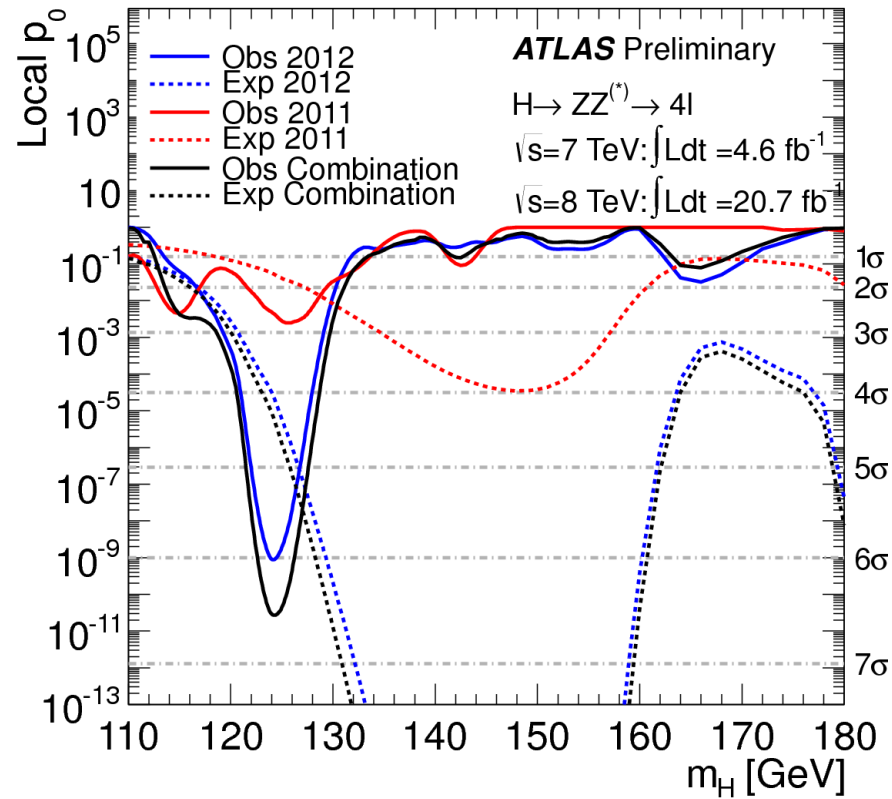
	4μ	2e2μ	2μ2e	4e	total
signal	6.3	3.0	4.0	2.6	15.9
ZZ	2.8	1.4	2.1	1.2	7.4
Z, Zbb, tt	0.55	1.6	0.6	1.1	3.7
observed	13	5	8	6	32



# H → ZZ\* (3)

## ◆ Excess:

- expected:  $3.1\sigma$
- observed:  $4.1\sigma$



## ◆ Best fit for mass:

$$124.3^{+0.6}_{-0.5} (\text{stat})^{+0.5}_{-0.3} (\text{syst}) \text{ GeV}$$

## ◆ Signal strength at 124.3 GeV: $\mu = 1.7^{+0.5}_{-0.4}$



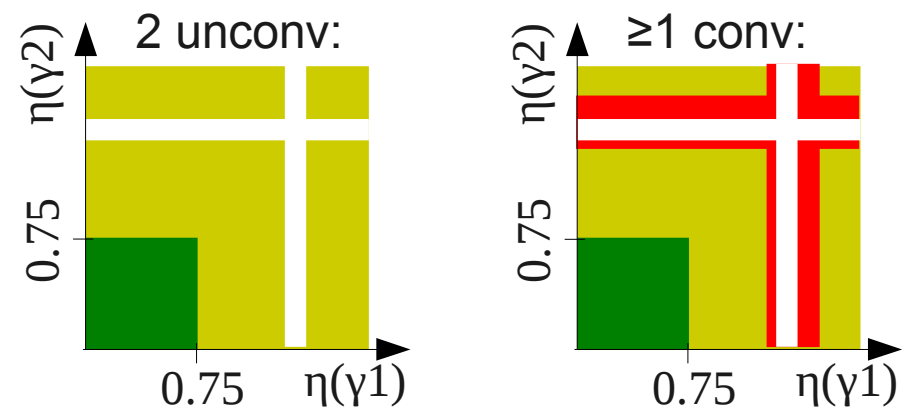
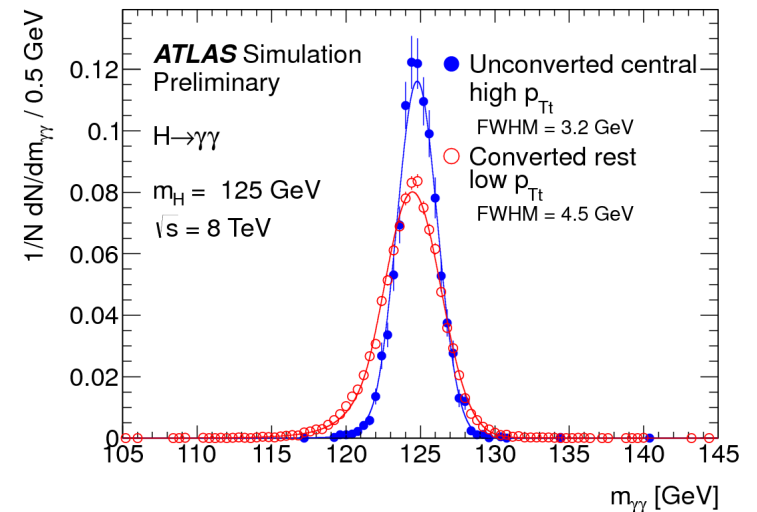
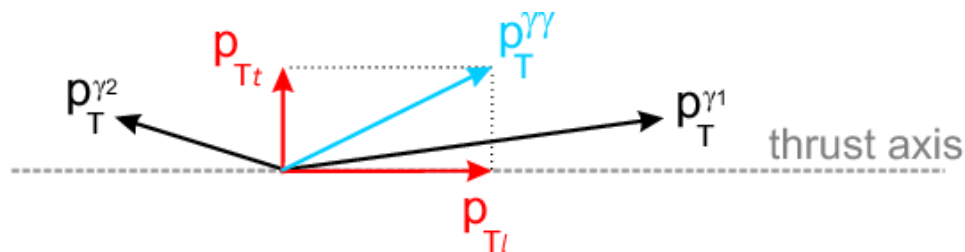
# H → γγ (1)

## ◆ Two well identified and isolated photons

- $E_T^{\gamma^1} > 40 \text{ GeV}$ ,  $E_T^{\gamma^2} > 30 \text{ GeV}$
- $\gamma\gamma$  purity: 75%

## ◆ Events divided in 12 exclusive categories

- with  $\neq$  resolution: 1.4 → 2.5 GeV
- with  $\neq$  S/B: 0.014 → 0.204
- with  $\neq$  production modes fractions
  - 9 ggF enriched
  - 1 VBF enriched
  - 2 VH enriched



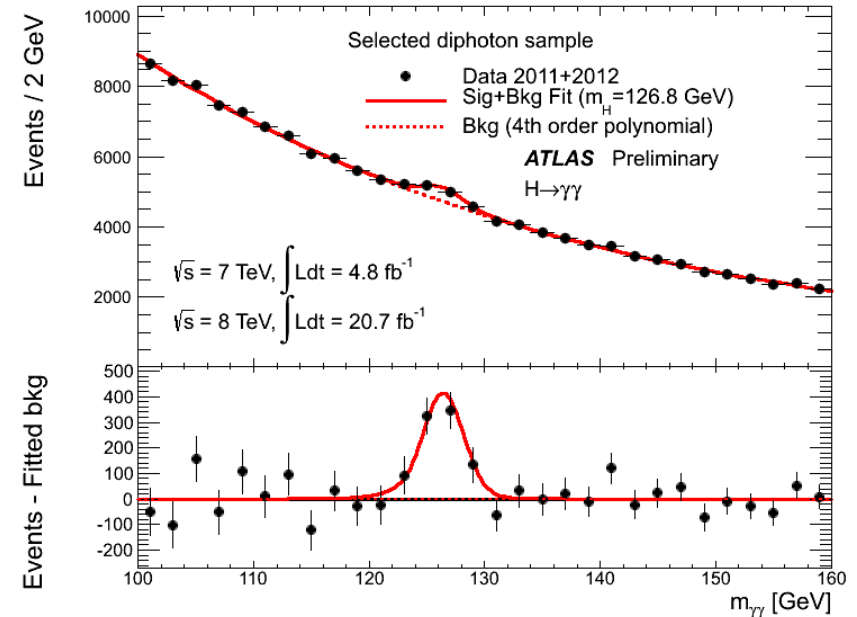
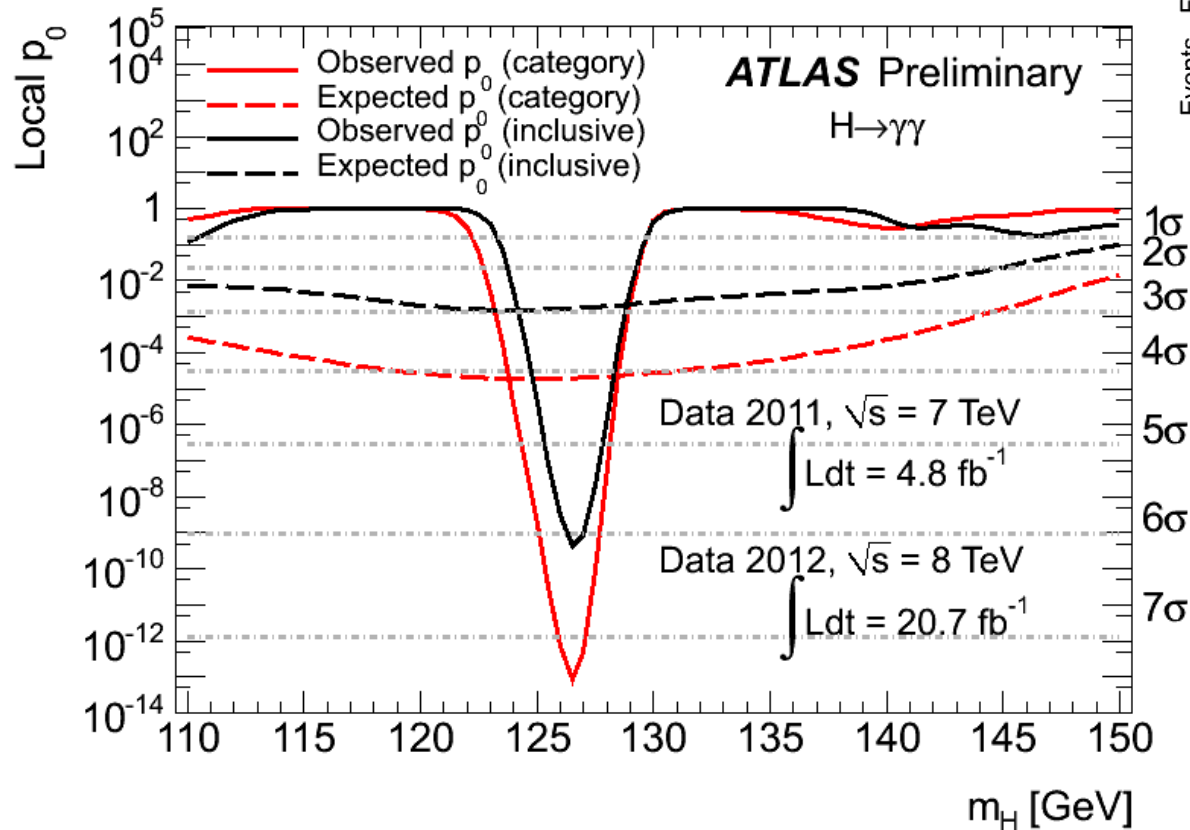
ATLAS-CONF-2013-012



# H → γγ (2)

## ◆ Observation confirmed for γγ channel

- observed: **7.4 σ** at 126.5 GeV
- expected: 4.1 σ

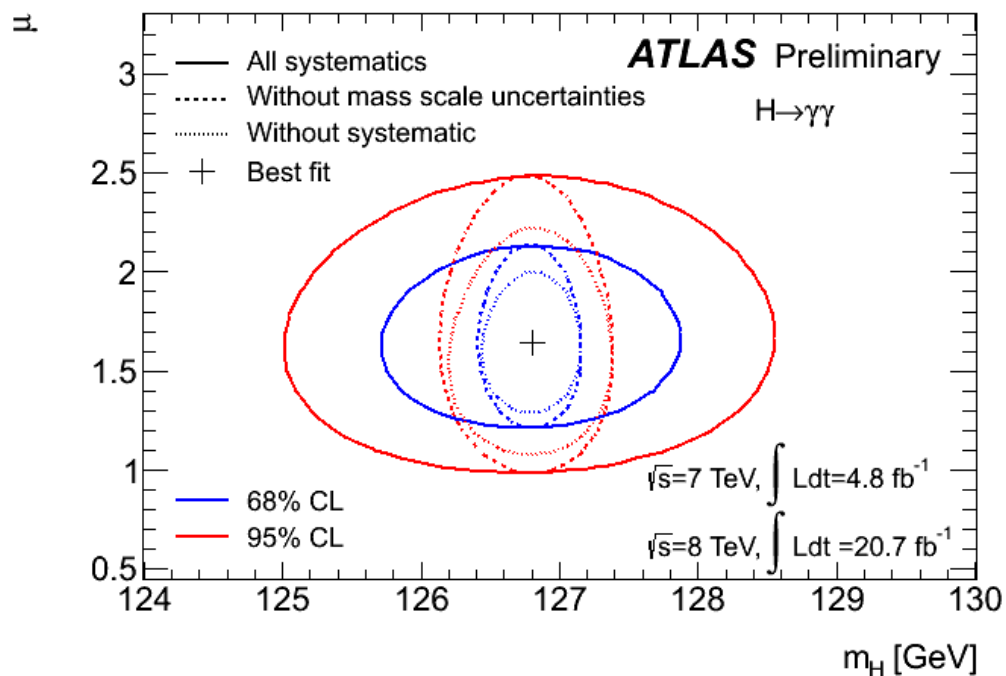




# H → γγ (3)

## ◆ Best fit for mass:

- $126.8 \pm 0.2$  (stat)  $\pm 0.7$  (syst) GeV



## ◆ Best fit signal strength at 126.8 GeV

- $\mu = 1.65 \pm 0.24$  (stat) $^{+0.25}_{-0.18}$  (syst)
- $2.3 \sigma$  from SM hypothesis





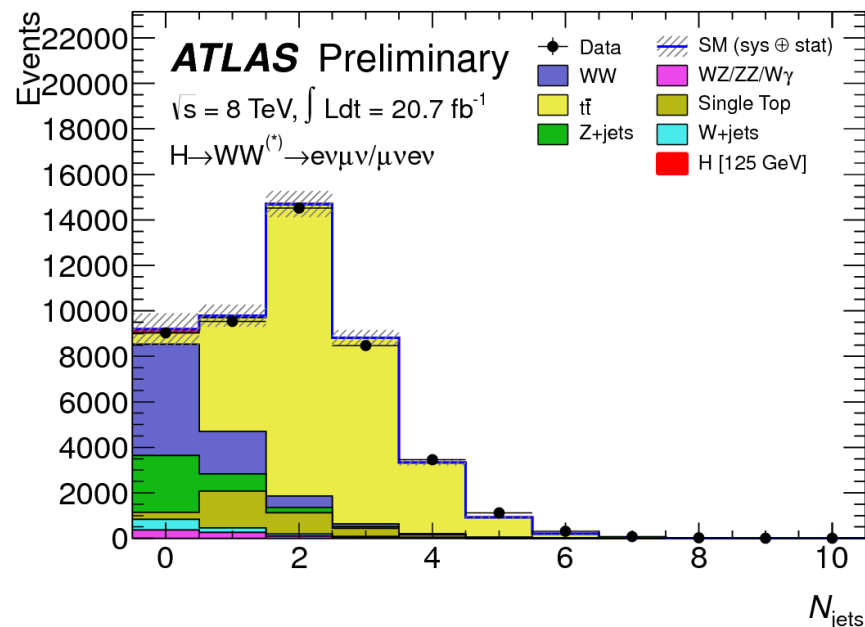
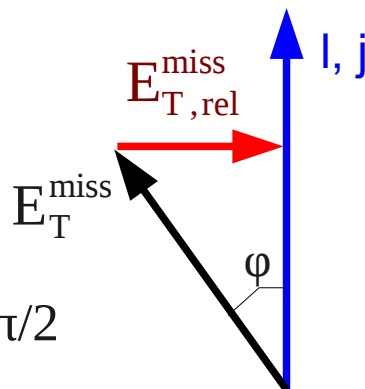
# H → WW\* (1)

- ◆ H → WW\* →  $e\nu\mu\nu$  only
- ◆ isolated leptons with  $p_T > 25/15$  GeV

- ◆  $E_{T,rel}^{miss} > 25$  GeV

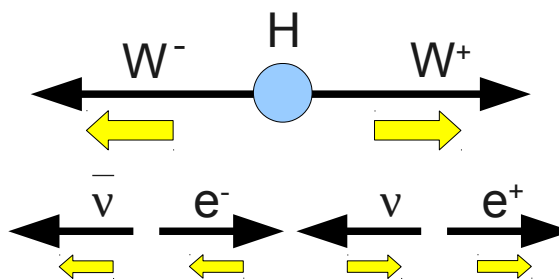
- $E_T^{miss}$  if  $\Delta\phi > \pi/2$

- $E_T^{miss} \cdot \sin(\Delta\phi)$  if  $\Delta\phi < \pi/2$



- ◆ Spin correlations

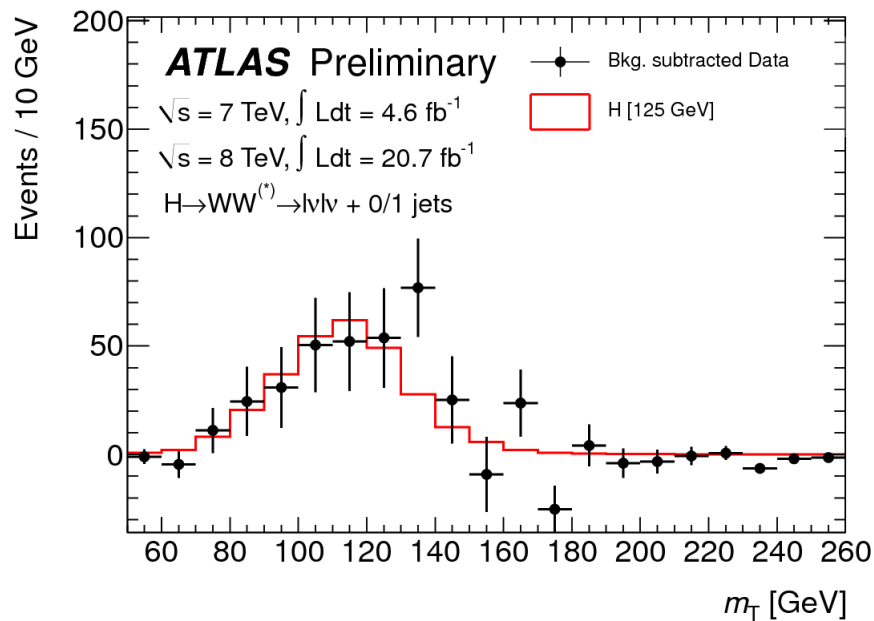
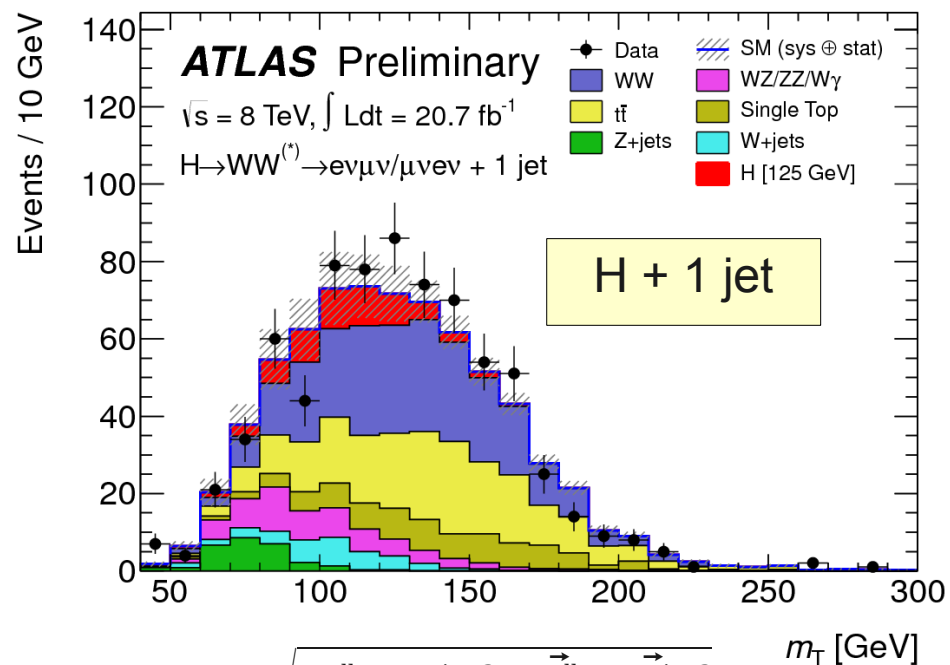
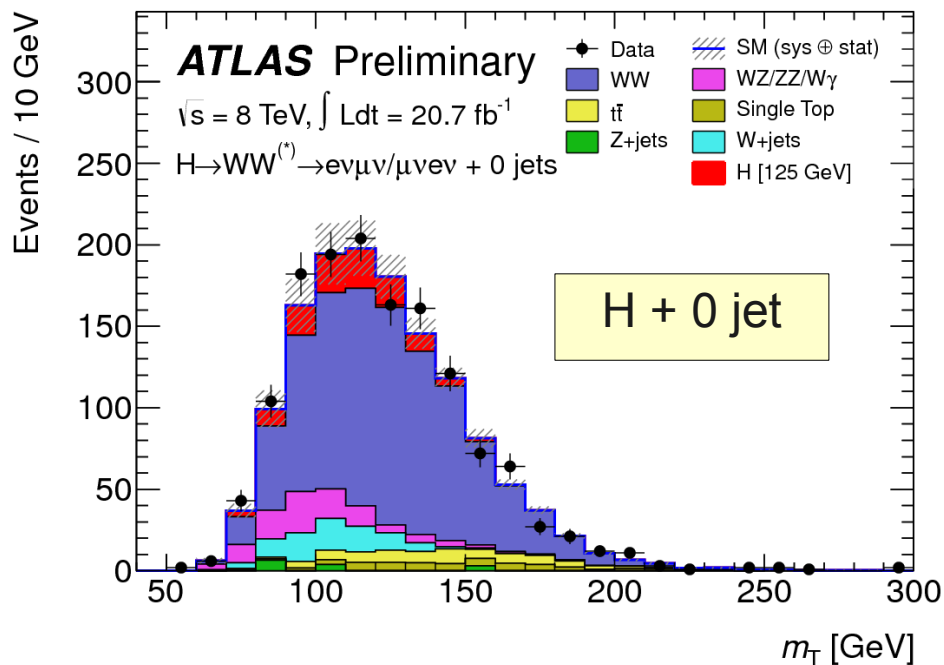
- $m_{ll} < 50$  GeV and  $\Delta\phi_{ll} < 1.8$



- ◆ Divide events in H+0 jet, H+1 jet and H+2 jets



# H → WW\* (2)



$$m_T = \sqrt{(E_T^{\text{ll}} + E_T^{\text{miss}})^2 - |\vec{p}_T^{\text{ll}} + \vec{E}_T^{\text{miss}}|^2}$$

$$E_T^{\text{ll}} = \sqrt{|\vec{p}_T^{\text{ll}}|^2 + m_{\text{ll}}^2}$$

	H + 0 jet	H + 1jet	H + 2jets
signal	97	40	10.6
background	739	261	36
observed	831	309	55



# H → WW\* (3)

◆ Excess of events for  $m_H < 150$  GeV

◆ For  $m_H = 125$  GeV

- observed:  $3.8 \sigma$
- expected:  $3.7 \sigma$

◆ Signal strength at 125 GeV:

-  $\mu = 1.01 \pm 0.31$

